

XXIV
QUARK
MATTER
DARMSTADT
2014

Quark Matter 2014報告
(Heavy flavor)

林 真一(東大CNS)
HIP/HIC合同研究会

2014.06.06

Heavy flavor in heavy ion collisions

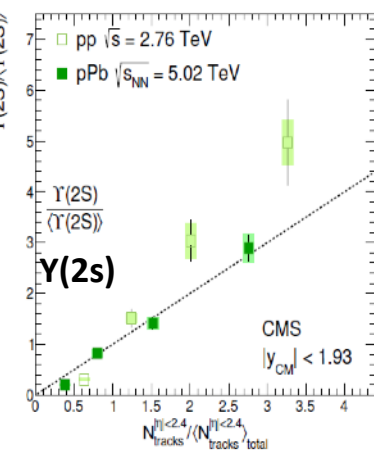
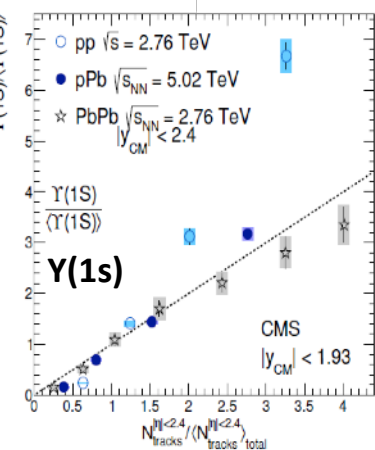
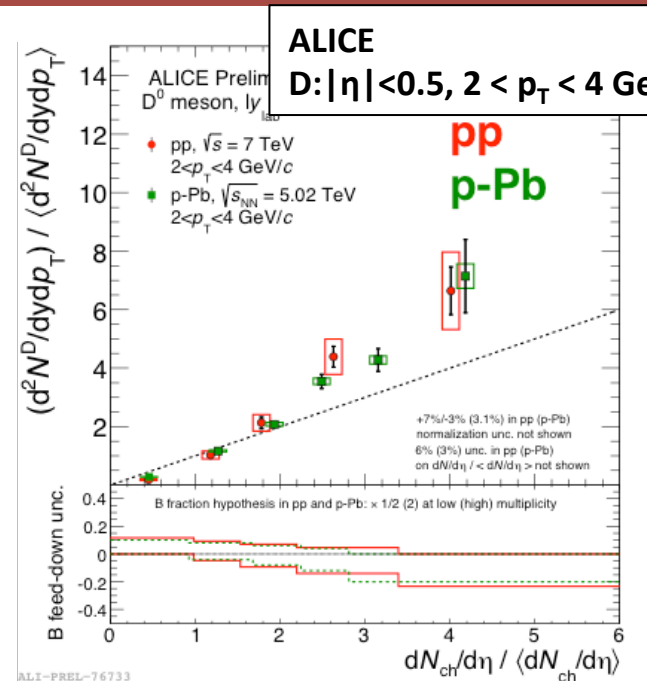
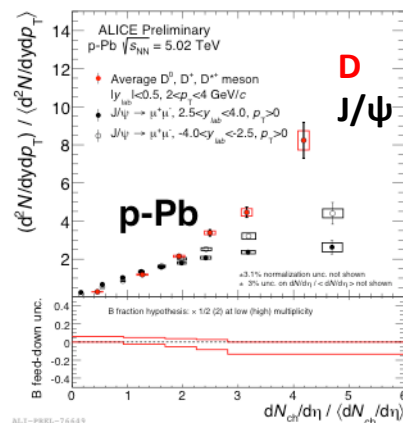
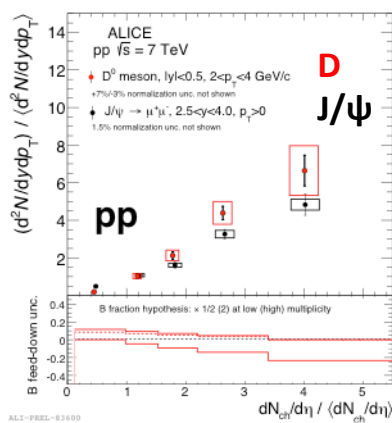
- Open heavy flavor:D, B, e, $\mu \leftarrow D, e, \mu \leftarrow B$
 - Energy loss
 - Thermalization
 - Cold nuclear matter effects
- Quarkonia: J/ ψ , ψ' , Y
 - Melting
 - Regeneration
 - Cold nuclear matter effects
- (Exotic state?)
 - Charmed baryon, tetra quarks, penta quarks...

Spectrum, $R_{AA}/R_{pA}(Q_{pPh})$, v_2 , angular correlation...

Rapidity, p_T , event activity, system energy, system size...

$D, J/\psi, \Upsilon$ multiplicity dependence

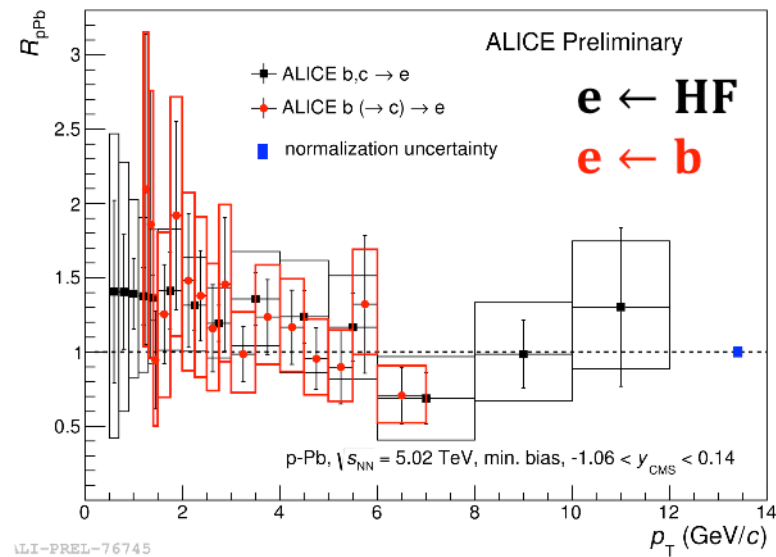
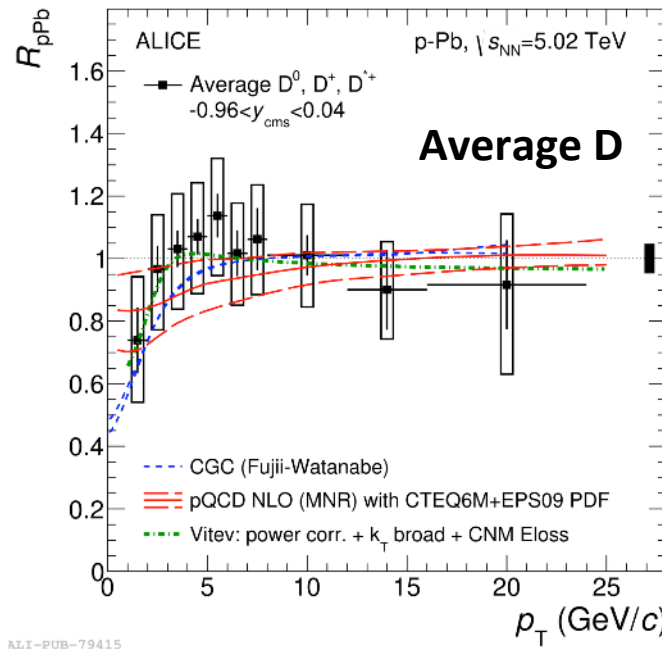
- pp、p-Pb
 - 強いmultiplicity依存性を確認
 - $J/\psi, \Upsilon$ でも同様の依存性
 - Pythia(6.4, Perugia 2011)では再現しない
- 定性的には、p-Pbではbinary collision の増加とconsistent
- p-pでは？
 - Multiple parton interaction ?



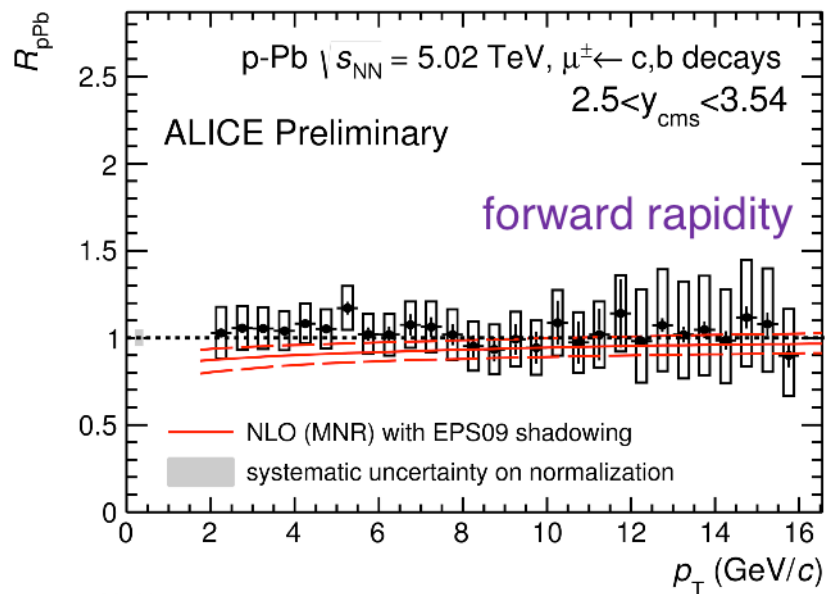
Open heavy flavor

Open Heavy flavor at mid-rapidity in p-Pb

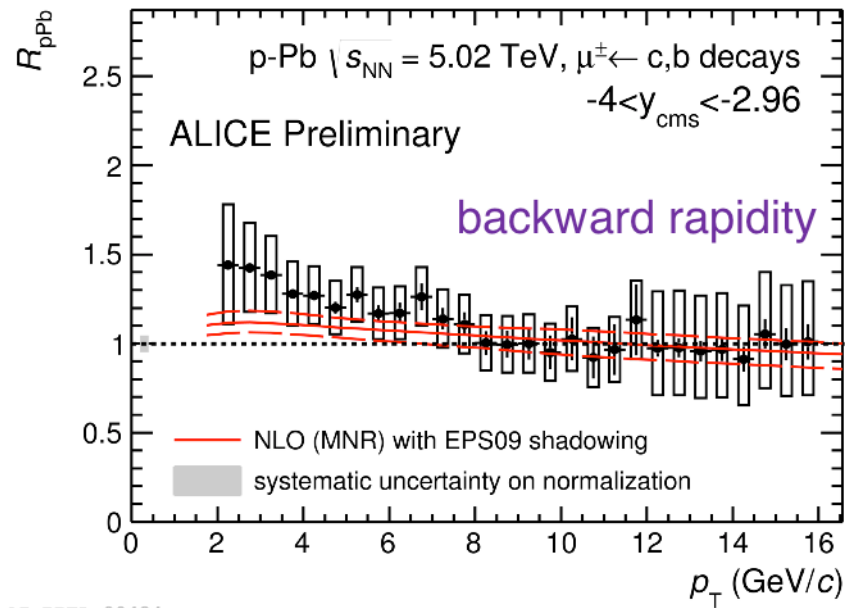
- D meson R_{pA} (mid-rapidity)
 - CGC
 - pQCD(EPS09)
 - Shadowing + energy loss + k_T broadening(Vitev)ともに一致
- Heavy flavor electron in midrapidity ($-1.06 < y < 0.14$)
 - Enhancement 確認されず



Heavy flavor at forward/backward in p- p

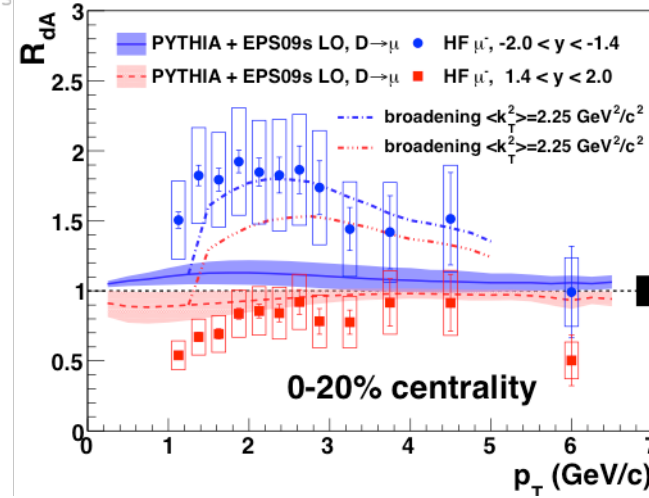


ALICE-PREL-80422



ALICE-PREL-8043

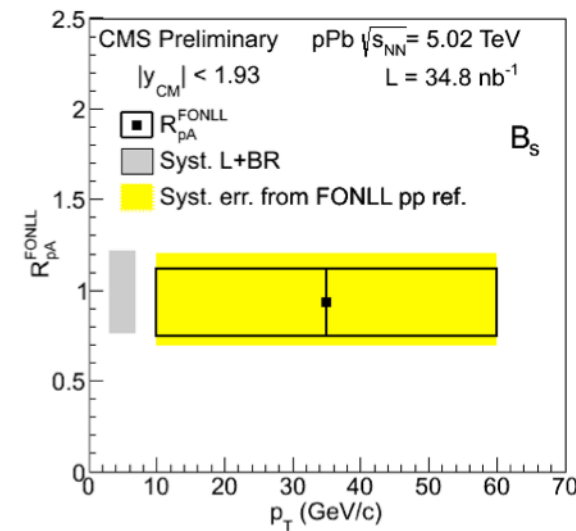
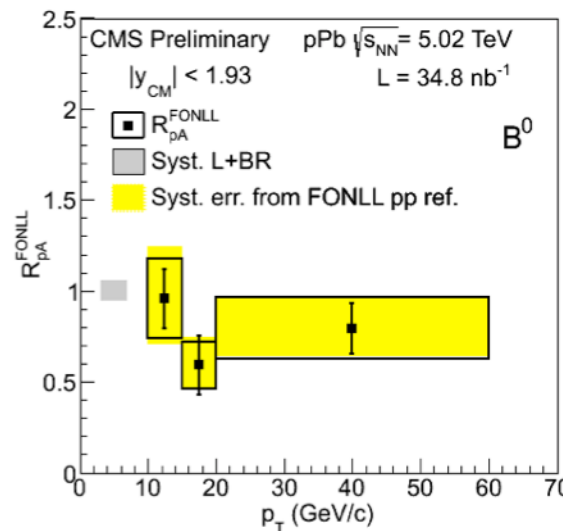
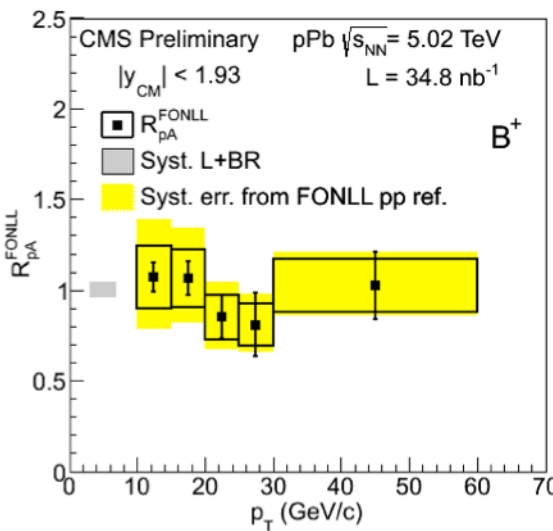
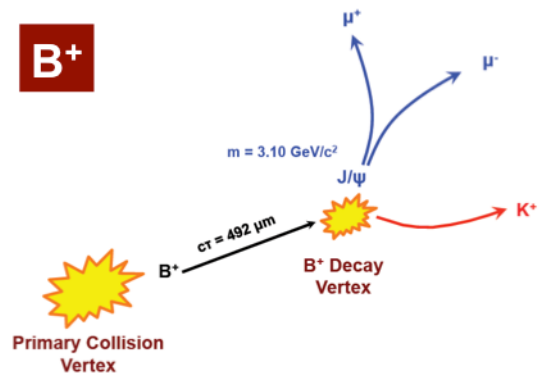
- Forward: 変化は見られず
- Backward: low p_T で enhancement
- pQCD計算(Pythia NLO tune, EPS09)と一致
 - Anti-shadowingの効果
- しかし、RHICではEPS09では一致せず
(PYTHIAのparametrizationは違う)



R_{pPb} for B meson

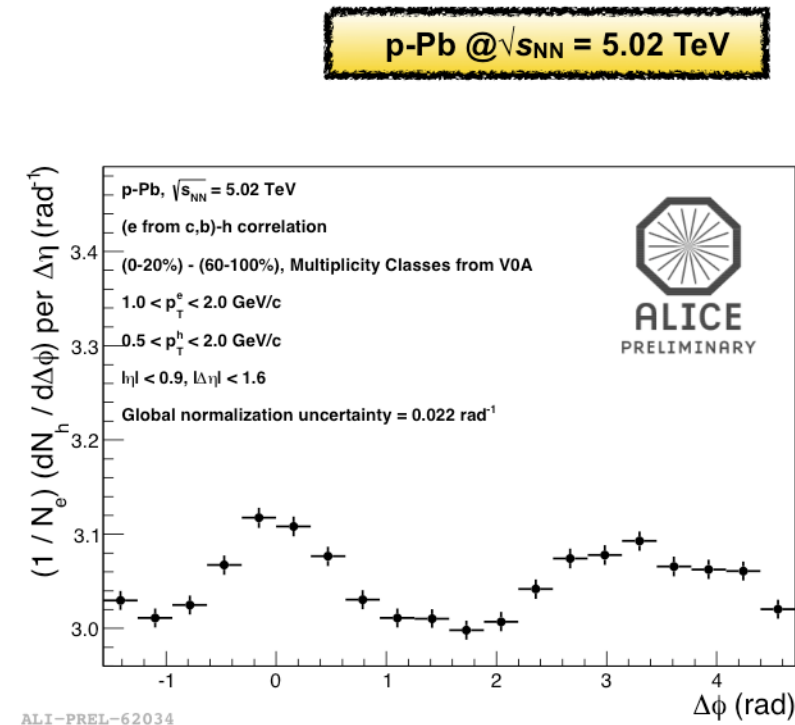
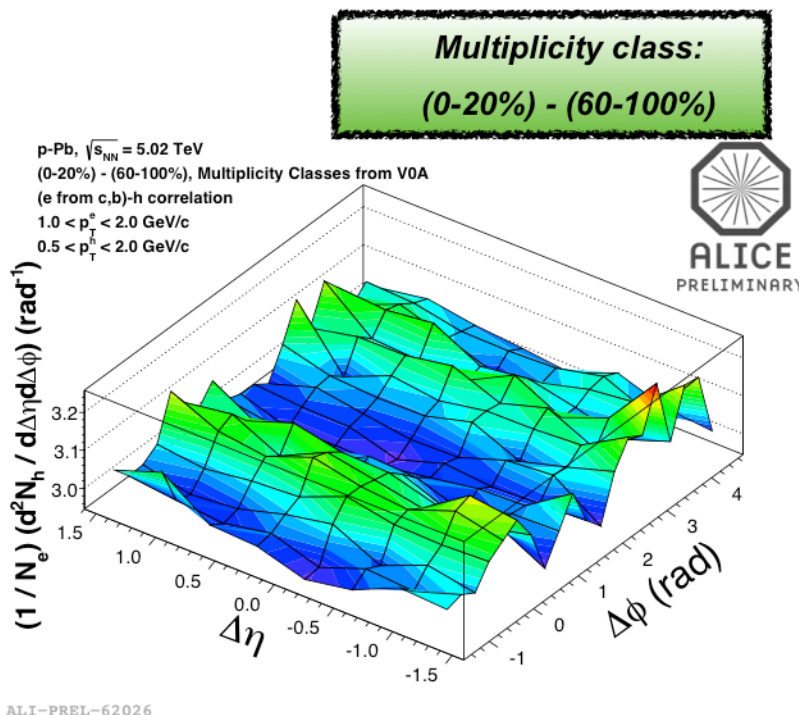
- CMSがp-Pb での B ($\rightarrow J/\psi + X$)を測定
 - pp reference
 - FONLL 計算を使用
 - <http://www.lpthe.jussieu.fr/~cacciari/fonll/fonllform.html>
 - R_{pPb} は $p_T > 10 \text{ GeV}/c$ で 1

- B-meson reconstructed by combination of
 - J/ψ (decay to muon pair)
 - tracks (charged pion or kaon)



Double ridge for Heavy flavor electron

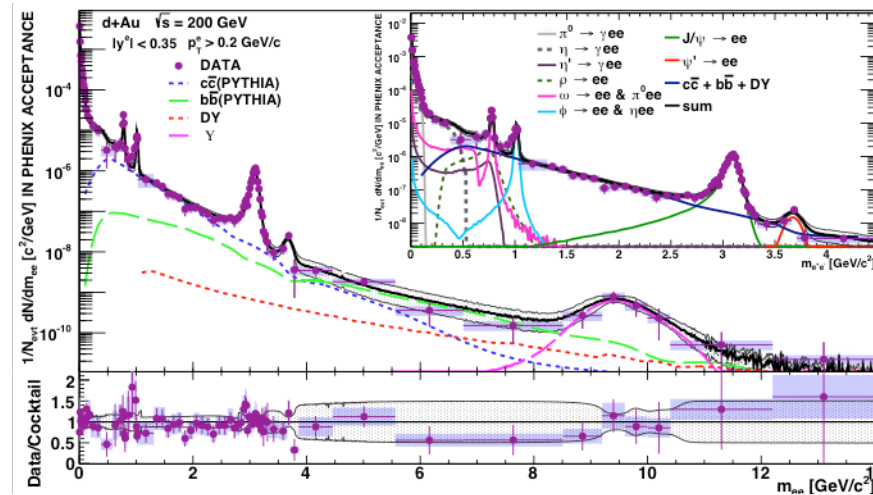
- Electron-hadron(from D, B) correlation
 - Double ridge structureを確認
 - CGC? Hydrodynamics?



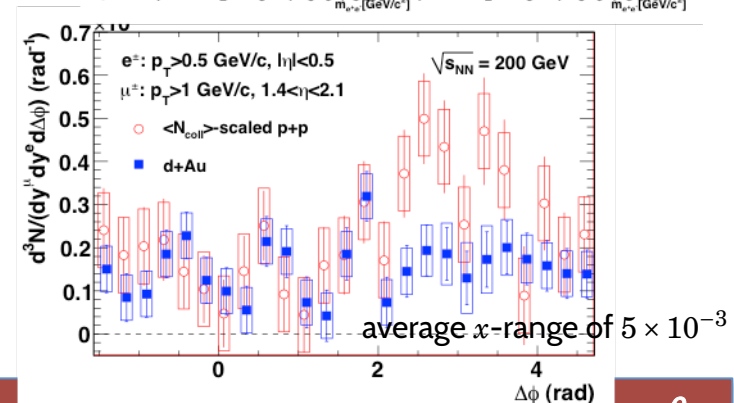
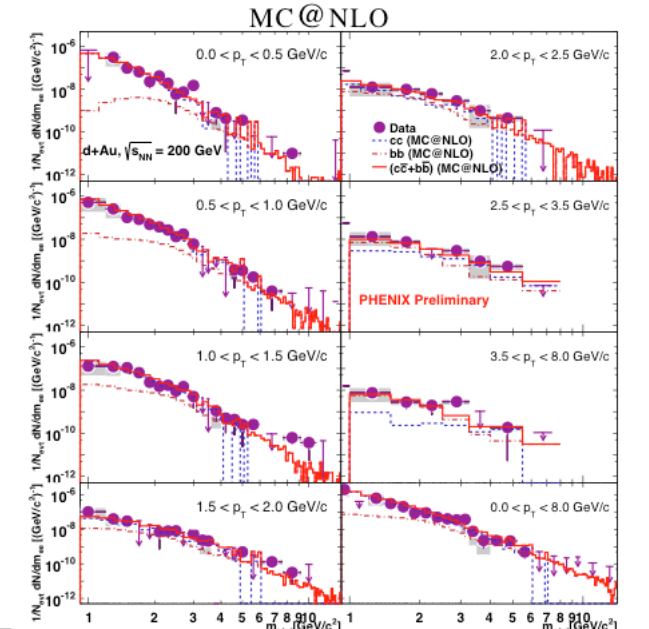
dilepton in d+Au at RHIC

– Dielectron

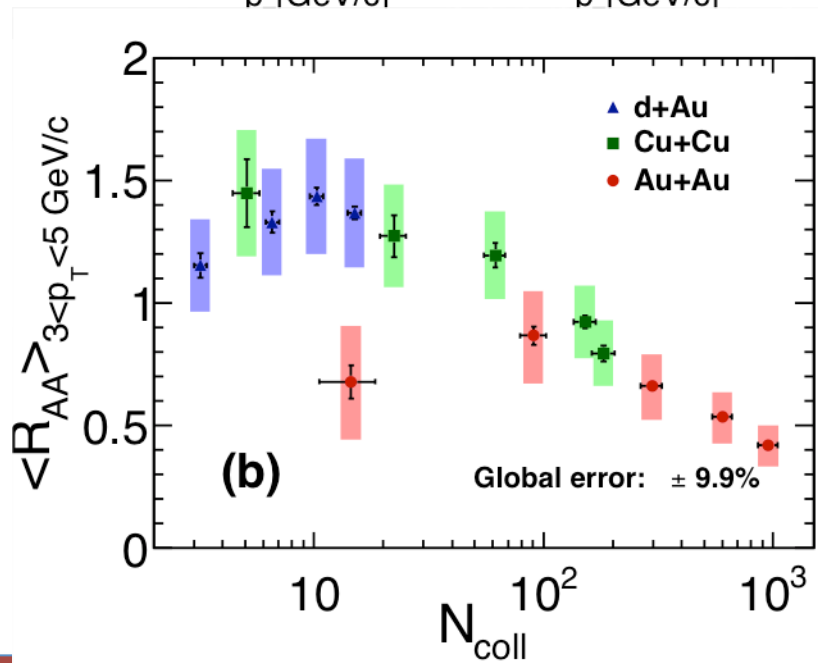
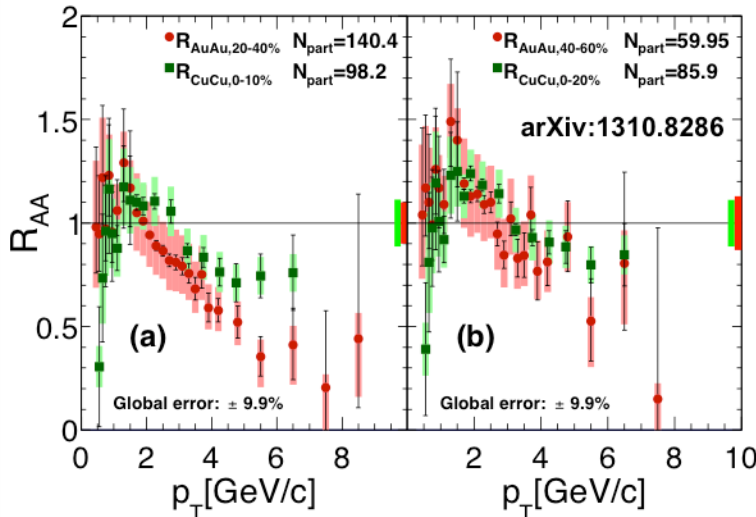
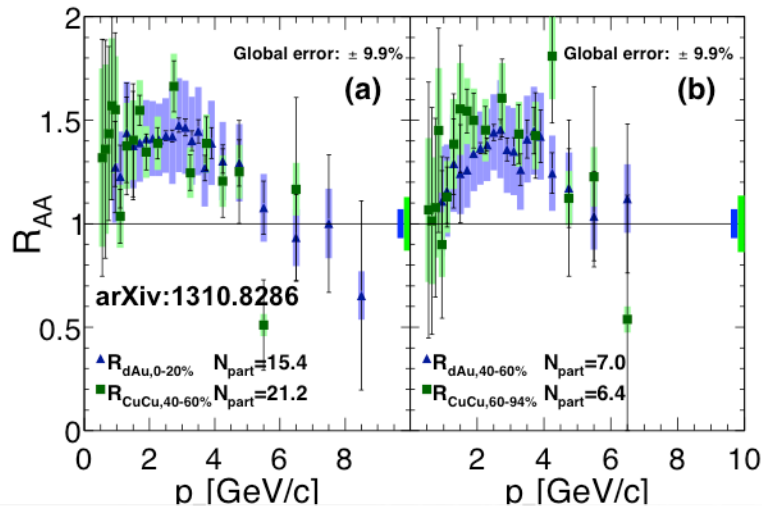
- High mass, low mass high p_T でbからの寄与がdominant
- Pythia(CTEQ5L), MCNLO(CTEQ6L)で一致
- $\sigma_{bb} = 3.4 \pm 0.28(stat) \pm 0.46(sys) \mu b$



- ## – e- μ correlation(central-forward)
- Away sideの相関が消失
 - Gluon shadowing? Saturation?



HF R_{AA} : Au+Au vs. Cu+Cu

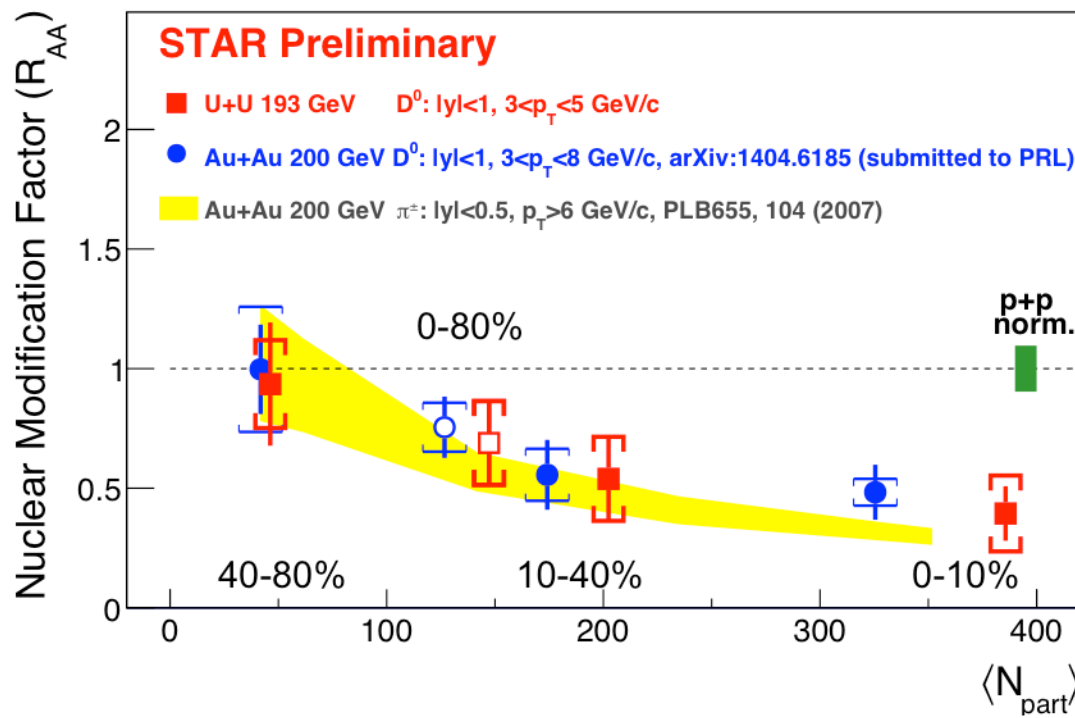


Cu+Cu@PHENIX

- Peripheral: enhancement
 \sim central d+Au
- Central: suppression
 \sim peripheral Au+Au

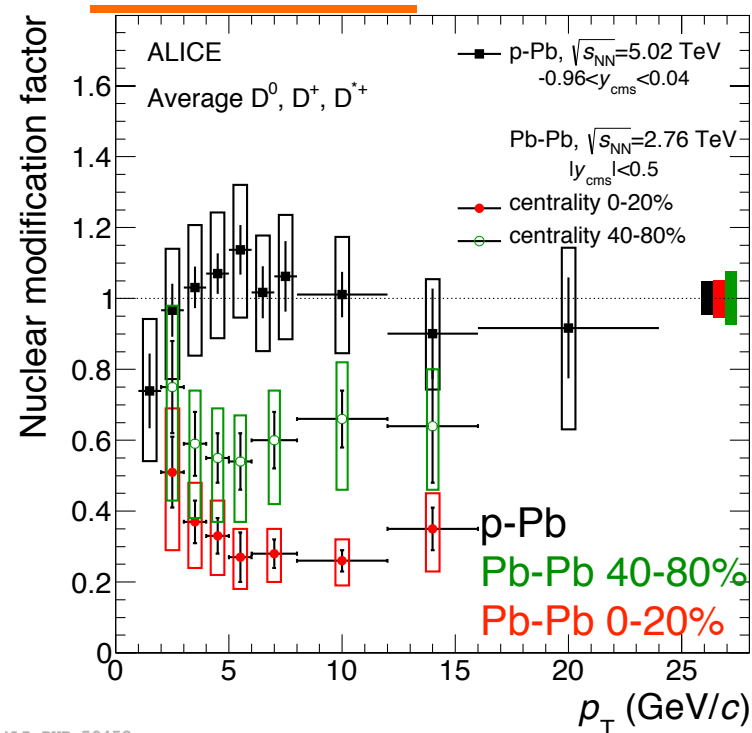
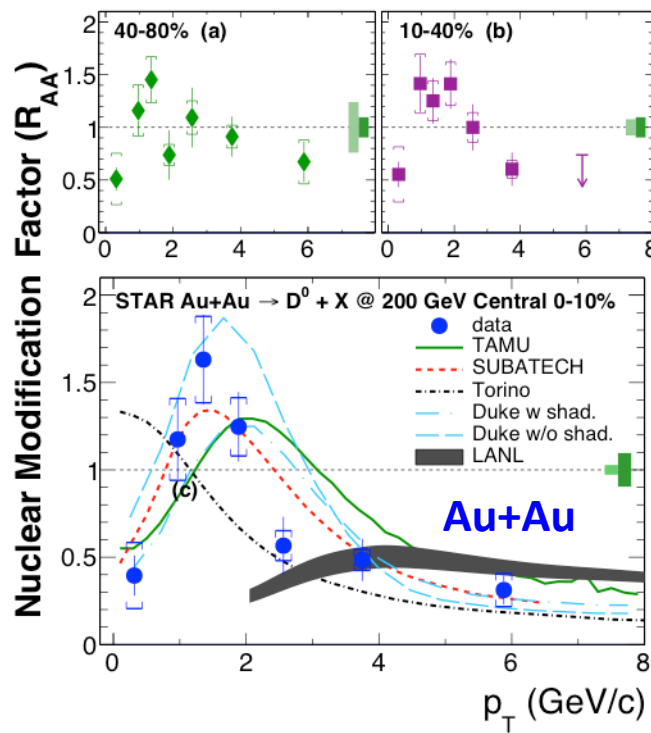
D meson R_{AA} : Au+Au vs. U+U

- U+U
 - tip-tipでAu+Auよりエネルギー密度20 %増加
 - Au+Auと誤差の範囲内で同様のcentrality 依存性



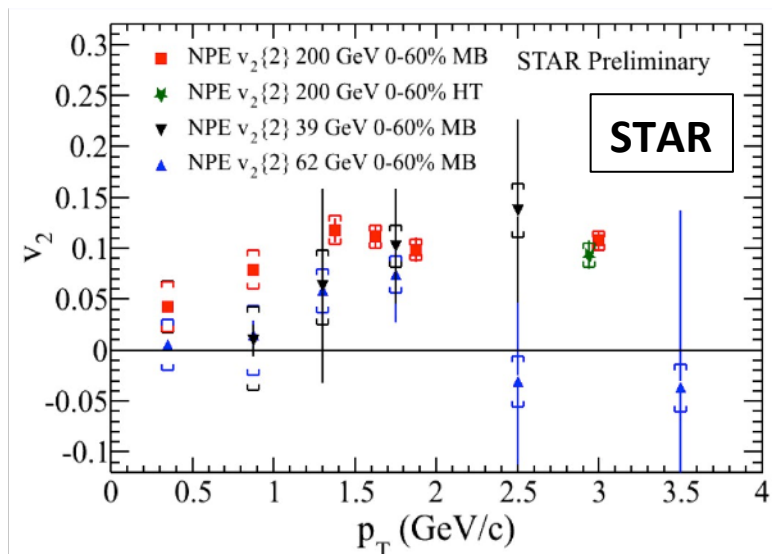
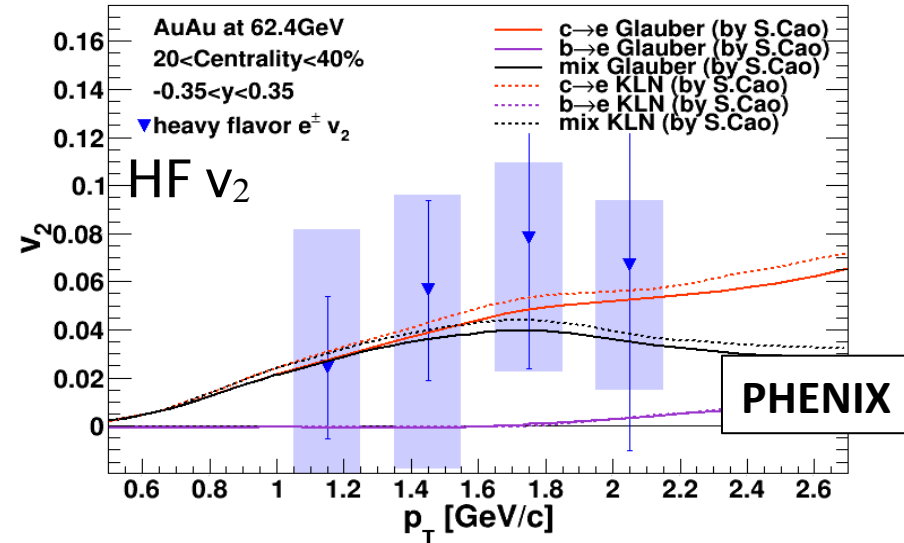
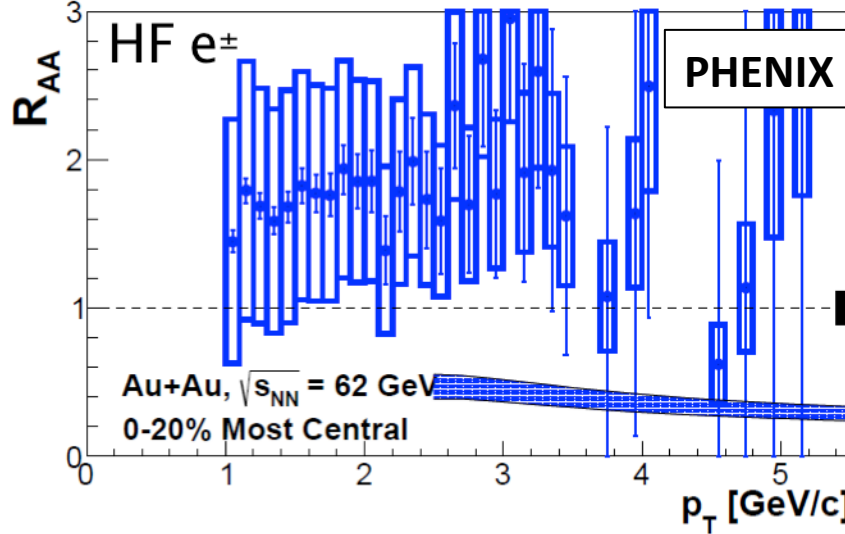
D meson R_{AA} : R_{AA} vs. p_T (RHIC & LHC)

- Au+Au
 - High p_T で suppression
 - Low p_T で enhancement: recombination? Shadowingの効果? Radial flow?
- Pb-Pb
 - p-Pb に比べ明らかな suppression → medium 中での energy loss
 - Low p_T で enhancement は見られない (RHIC とは異なる振る舞い)



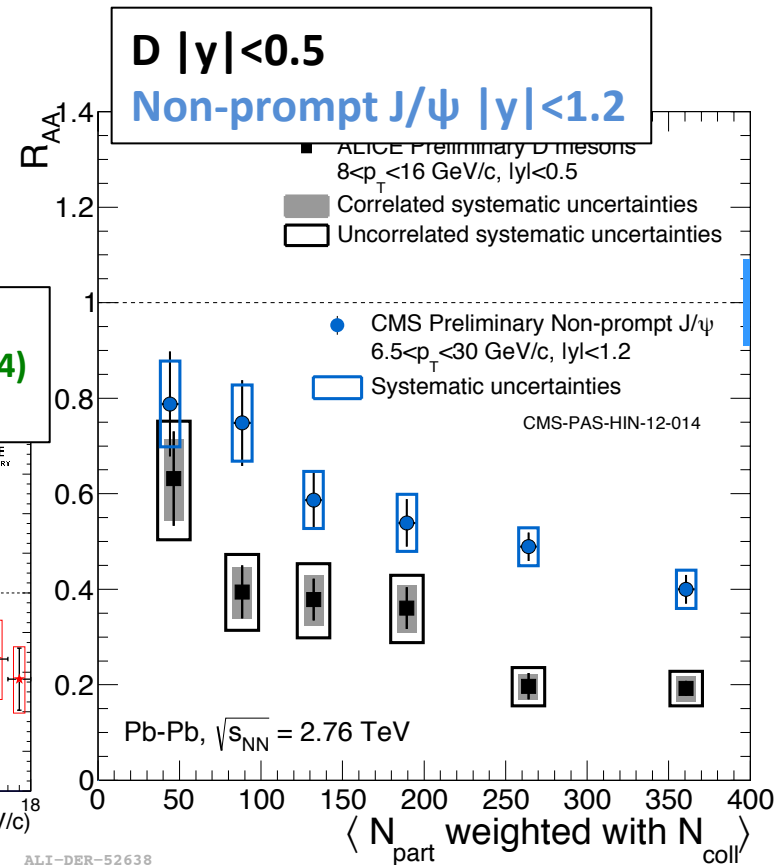
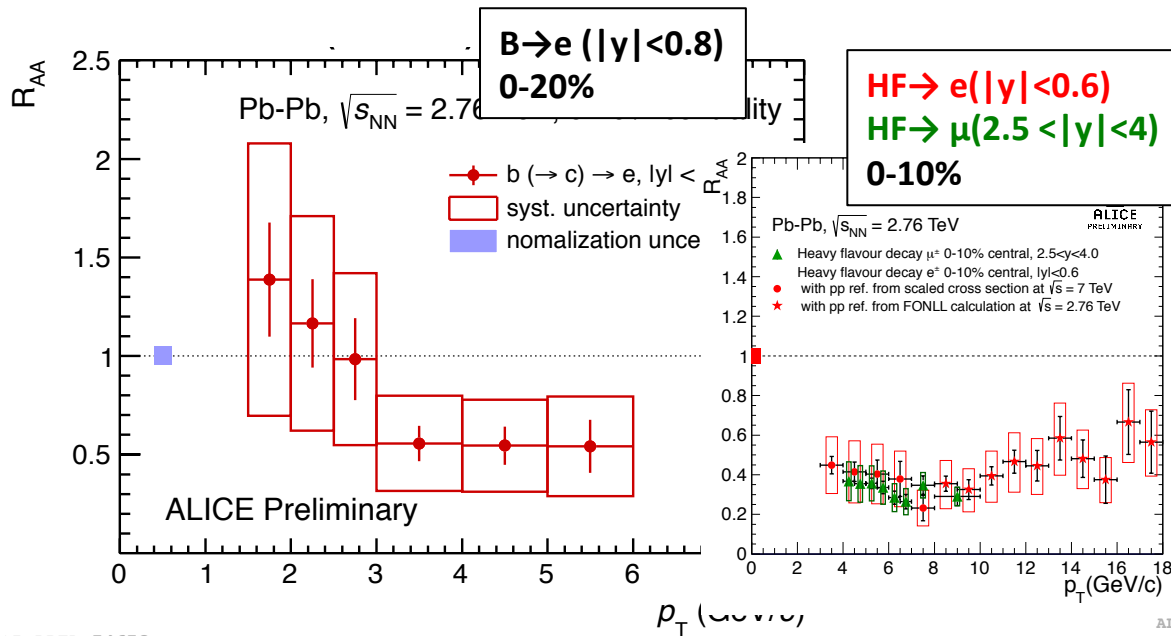
HF R_{AA} and v_2 vs. \sqrt{s}

arXiv:1405.3301

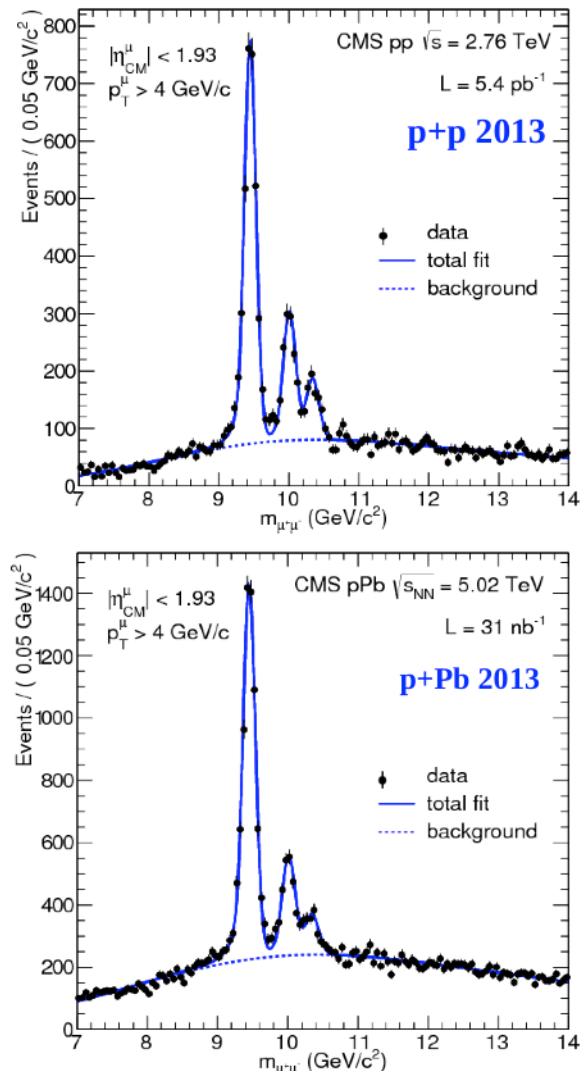
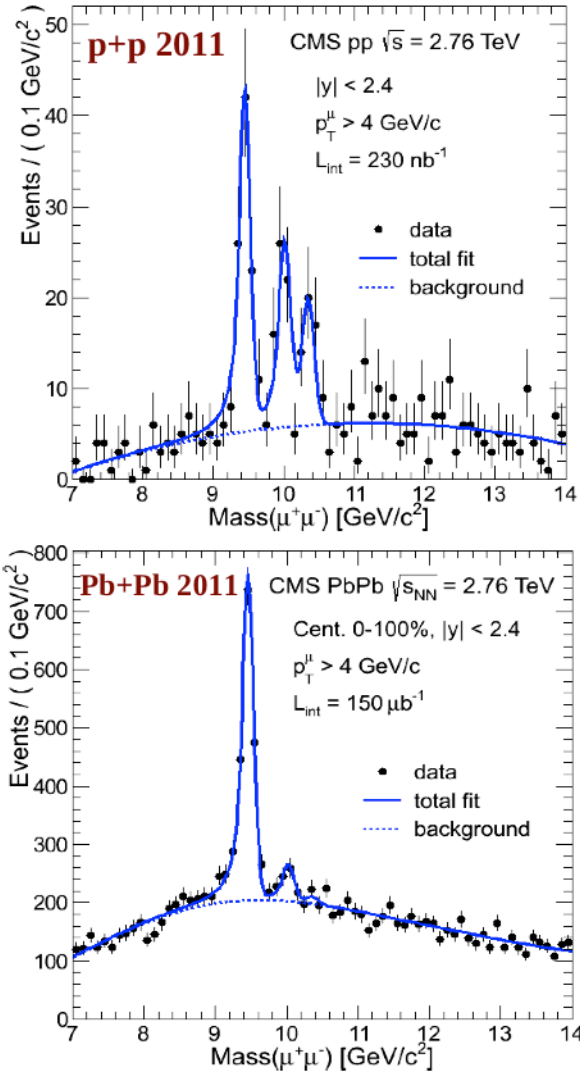


R_{AA} (B) AND R_{AA} (D)

- $B \rightarrow e$
 - Pb-Pb: $p_T > 3$ GeV/c で suppression (HF $\rightarrow e$ と同程度?)
 - Low p_T で enhancement?
- D vs Non-Prompt J/ ψ
 - $R_{AA}(B) > R_{AA}(D)$

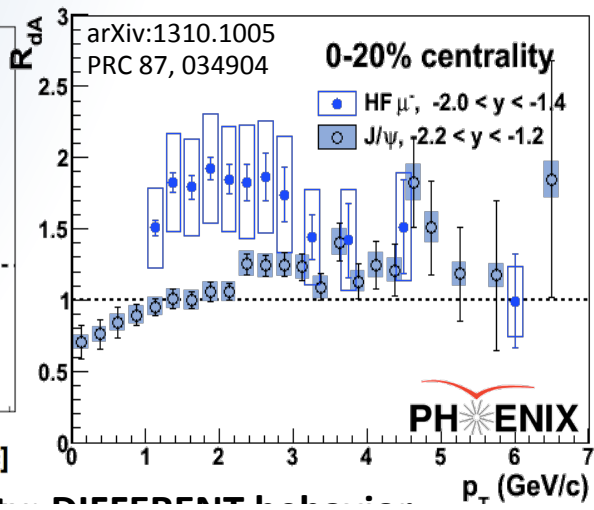
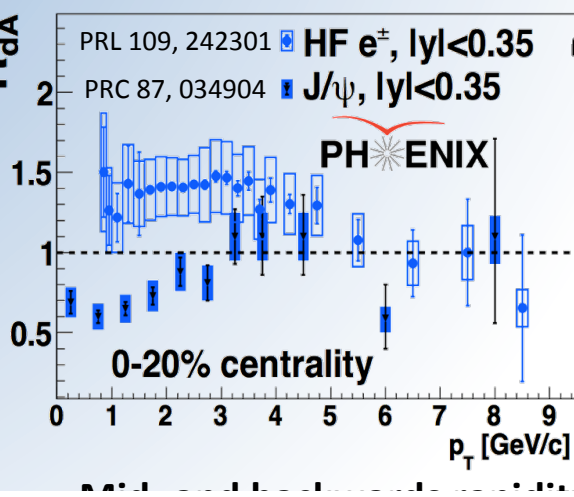
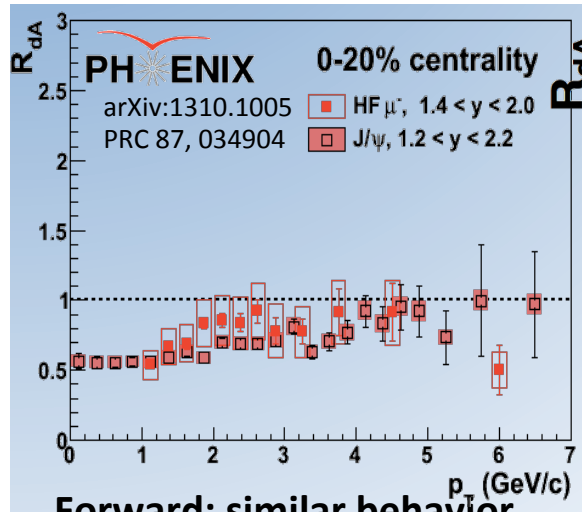


Quarkonia

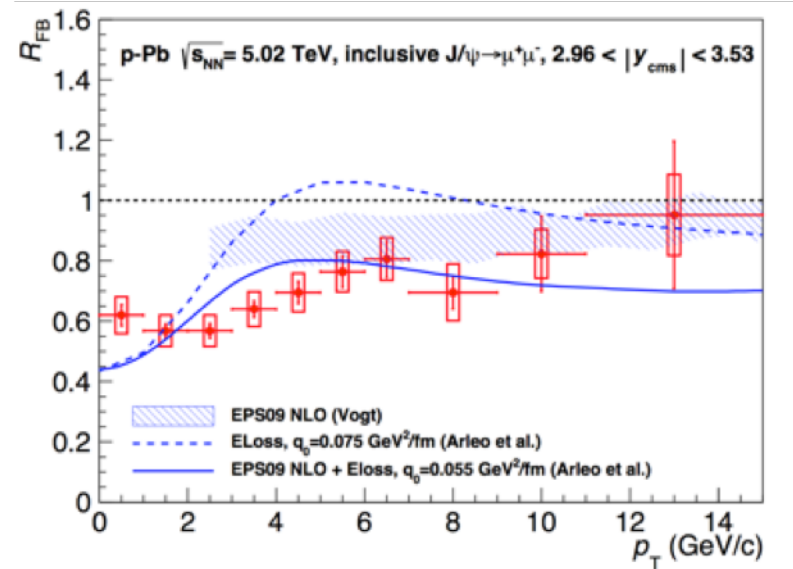
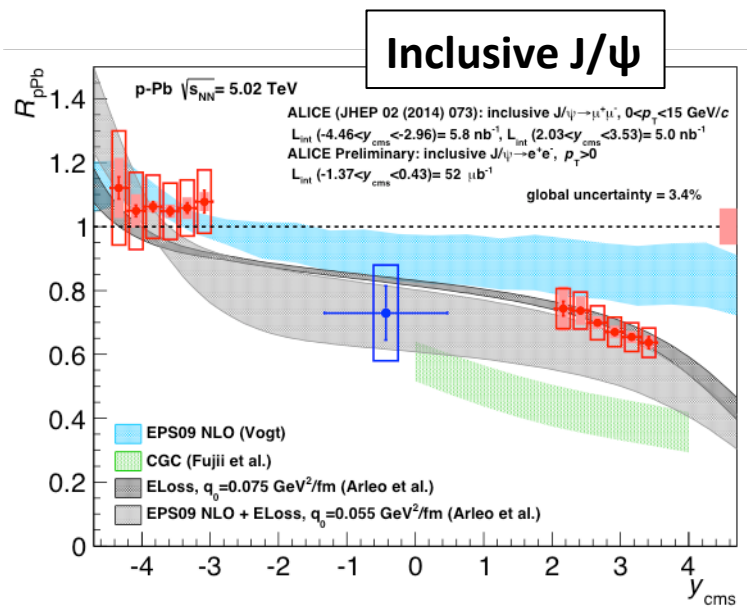


J/ψ vs. open heavy flavor in d+Au

- Forward
 - J/ψ, open heavy flavorで同程度のsuppression
- mid-rapidity, Backward
 - Open heavy flavorのenhancement(cronin?)に対しJ/ψでは enhancementは確認されず

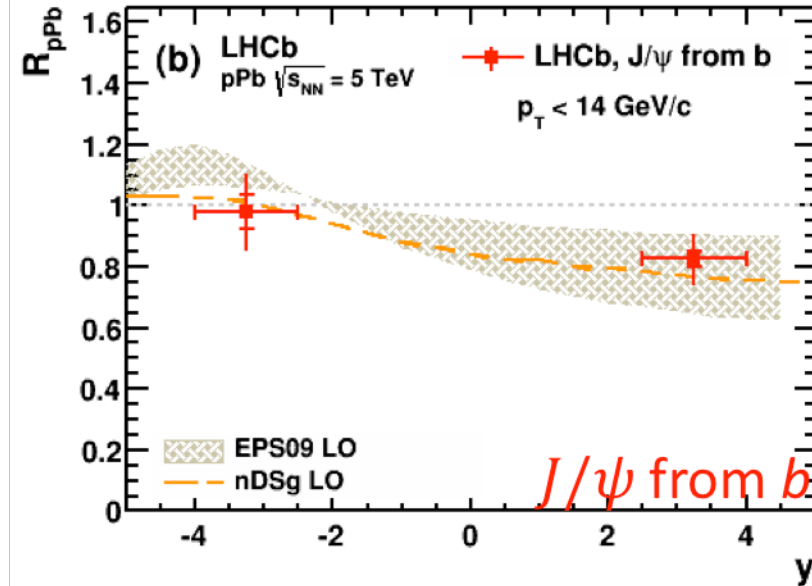
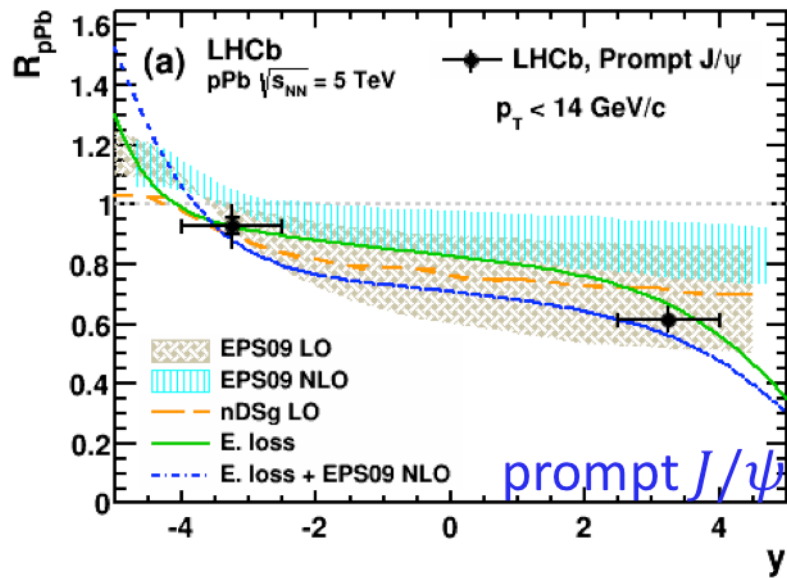


J/ψ in $p\text{-Pb}$ @ALICE



- rapidity依存性
 - Forwardでsuppression、Backwardでenhancement
 - Energy lossを含む模型(Arleo.et.al) が最も結果を再現
- R_{FB}, p_T 依存性
 - Low p_T で振る舞いは再現できず？

J/ψ in $p\text{-Pb}$ @LHCb



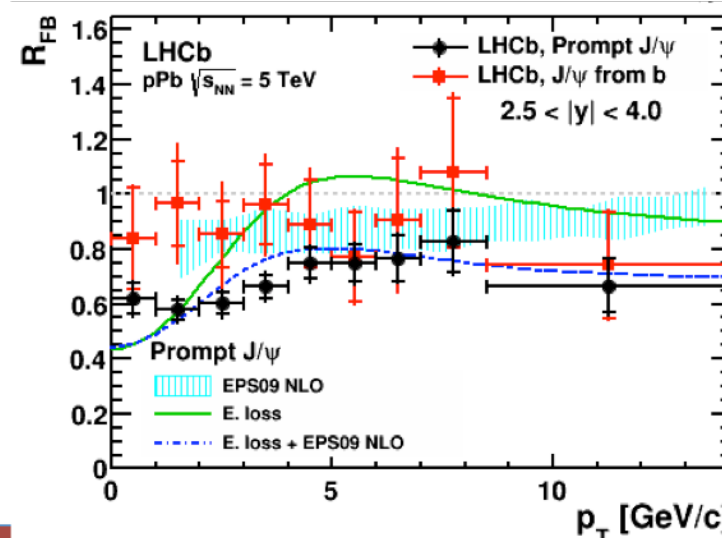
Pseudo proper timeによりPrompt J/ψ とNon-prompt J/ψ を選別

Prompt J/ψ

- ALICEの結果とほぼ一致

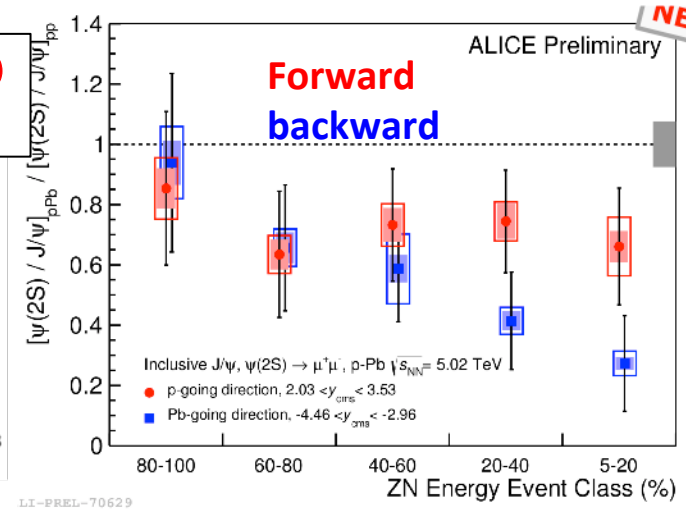
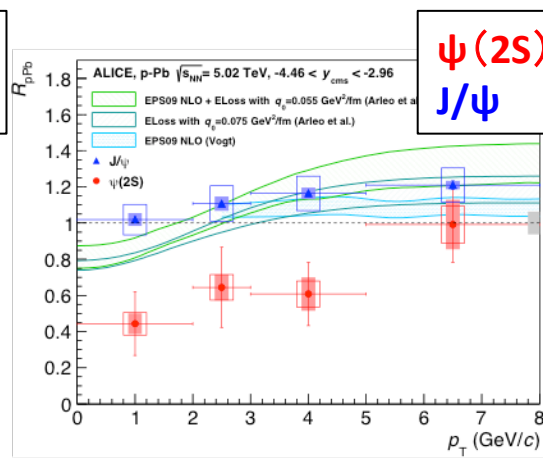
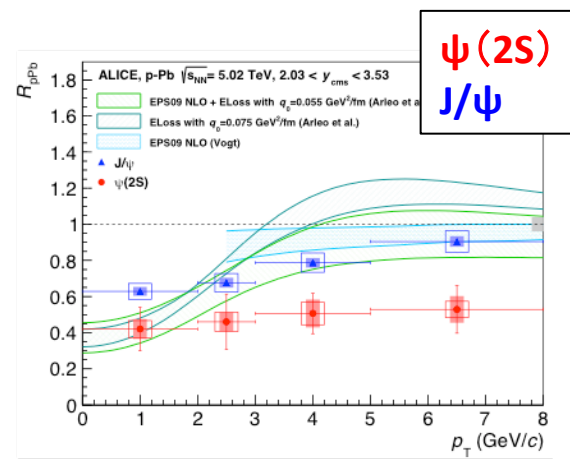
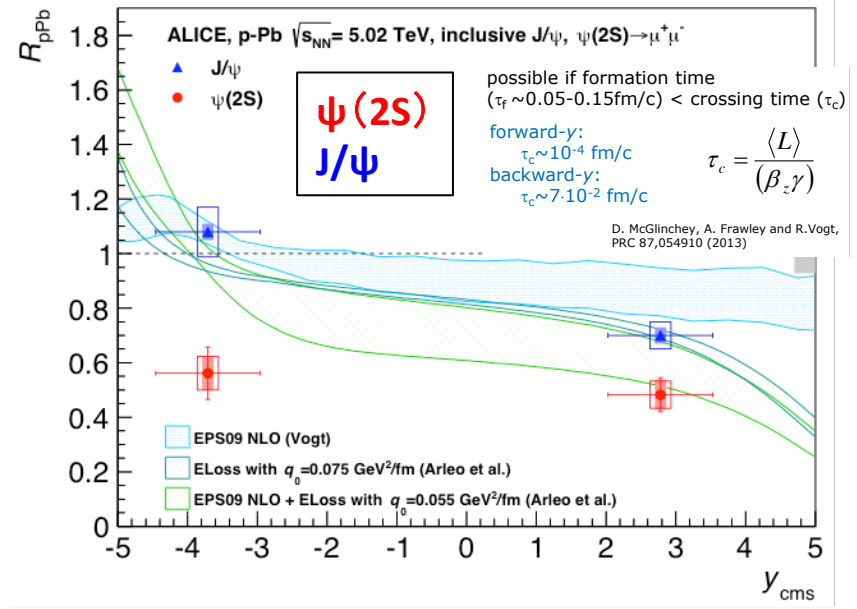
Non-Prompt J/ψ

- pQCD計算とコンシスティント

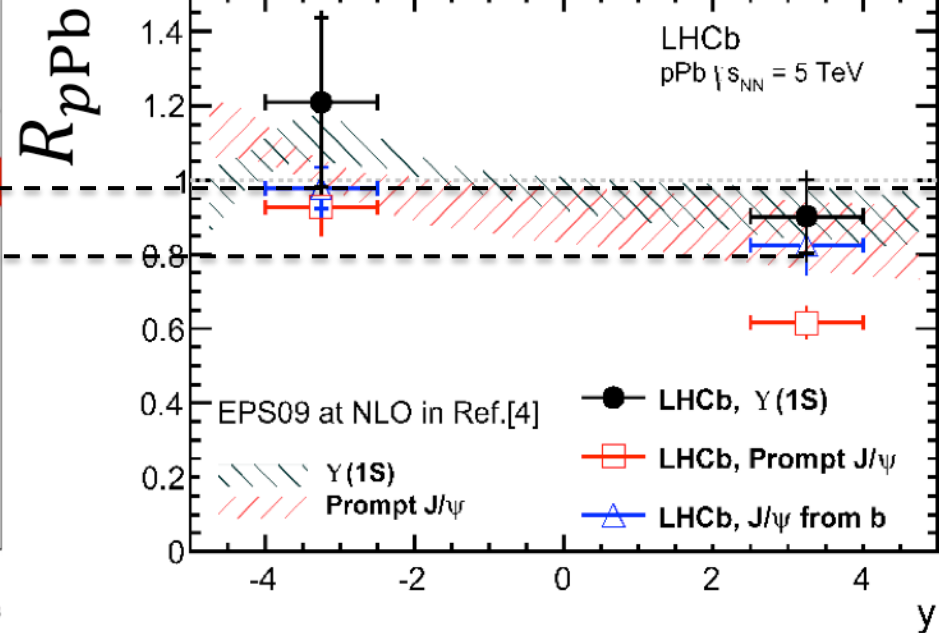
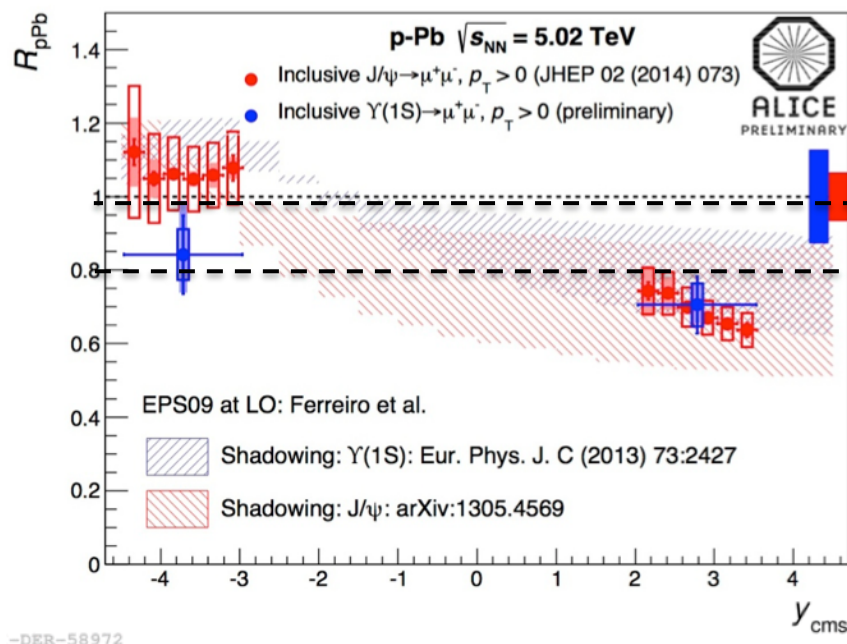


$\psi(2S)$ in p -Pb

- Backward でも抑制確認
 - PHENIX(mid rapidity)でも確認
 - Initial state effectsは J/ψ と変わらない
 - 核内でのbreakupは考えにくい
($\tau_c < \tau_{\text{form}}$)
 - Co-mover hadronによるbreakup?
- J/ψ とのdouble ratio
 - Forward suppressionに比べbackwardでより強いcentrality 依存性



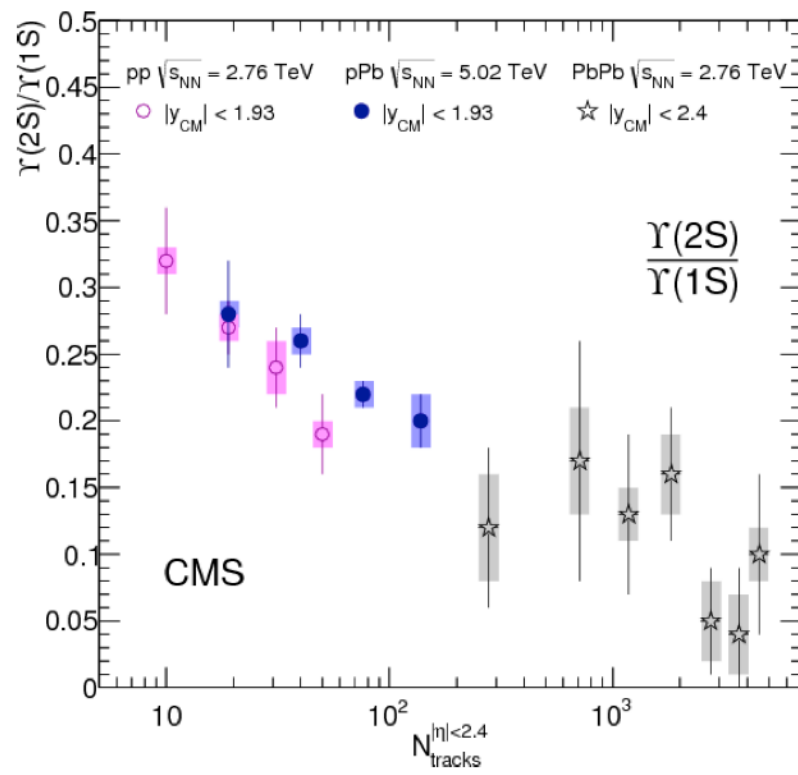
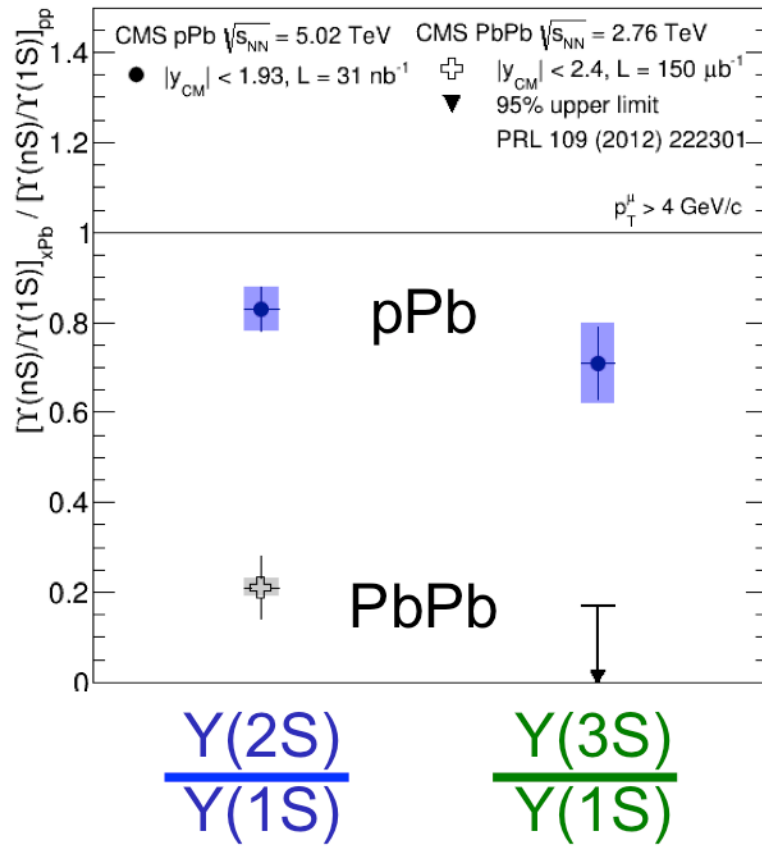
$\Upsilon(1S)$ in p - Pb



- ALICEとLHCbでinconsistent?
 - 誤差の範囲内では一致?
 - ALICE: forwardで J/ψ 程度のsuppression, backwardでも依然suppression
 - LHCb: J/ψ に比べsuppressionが少ない、backwardでenhancement
 - ppのInterpolation の仕方が異なる

$\Upsilon(nS)$ in p - Pb

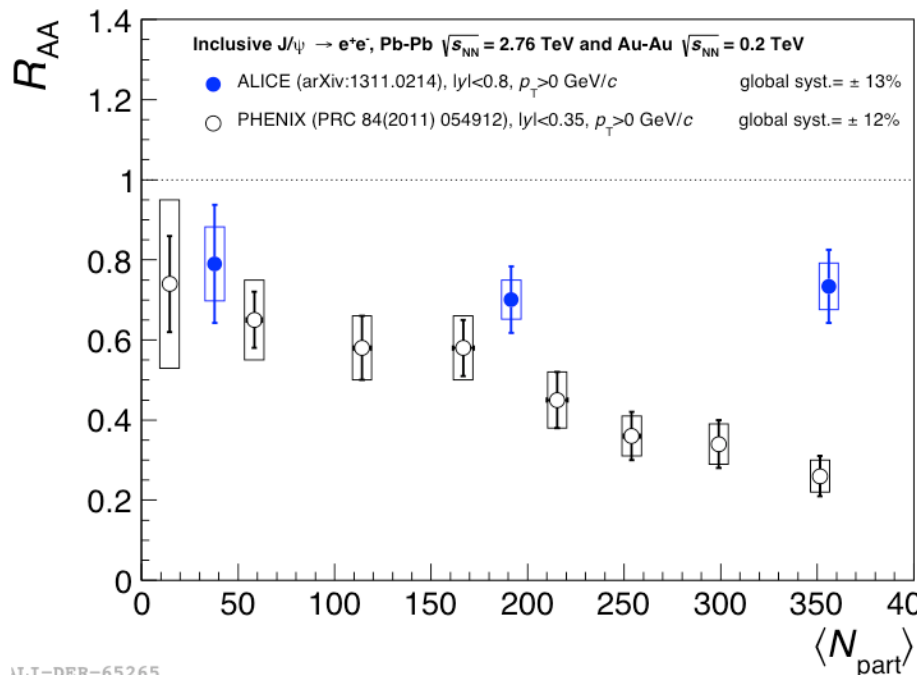
- Pb-Pbほどのsuppressionは見られず
 - Pb-Pbのsuppressionはsequential melting?
 - 定性的にはhigh multiplicityでより強いsuppression



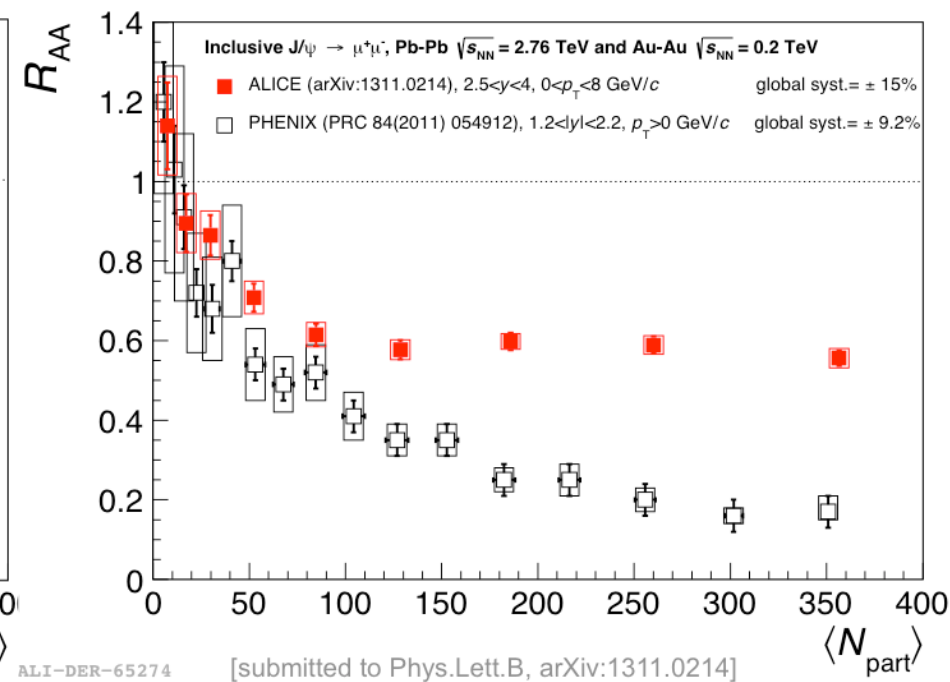
$J/\psi R_{AA}$: centrality dependence

- ALICEとPHENIXの比較(inclusive J/ψ)
 - LHCではRHICほど抑制されていない
 - LHCではrecombinationが効いている

mid-rapidity $|y|<0.8$



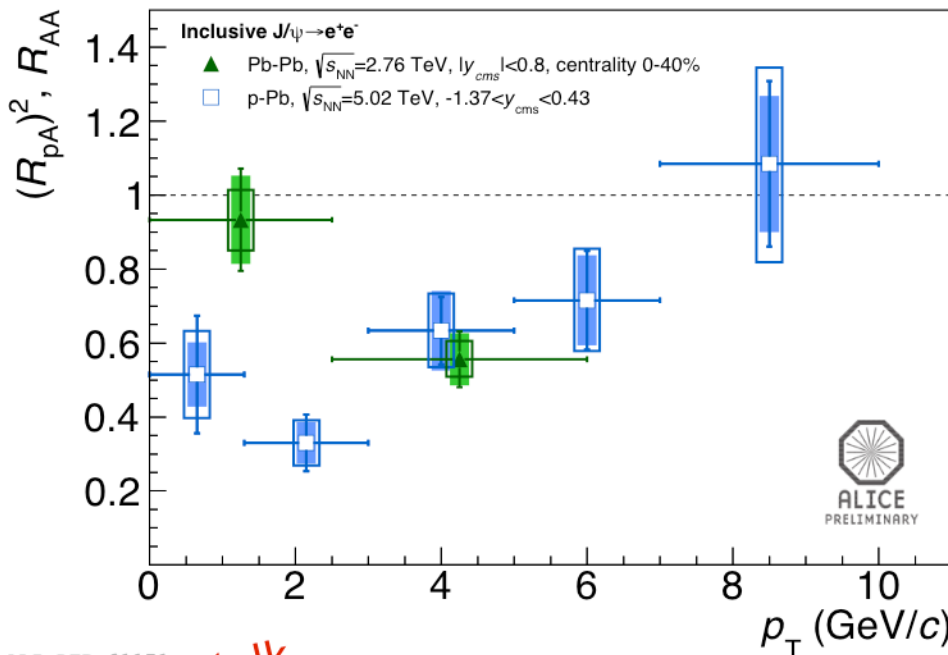
forward rapidity $2.5<y<4$



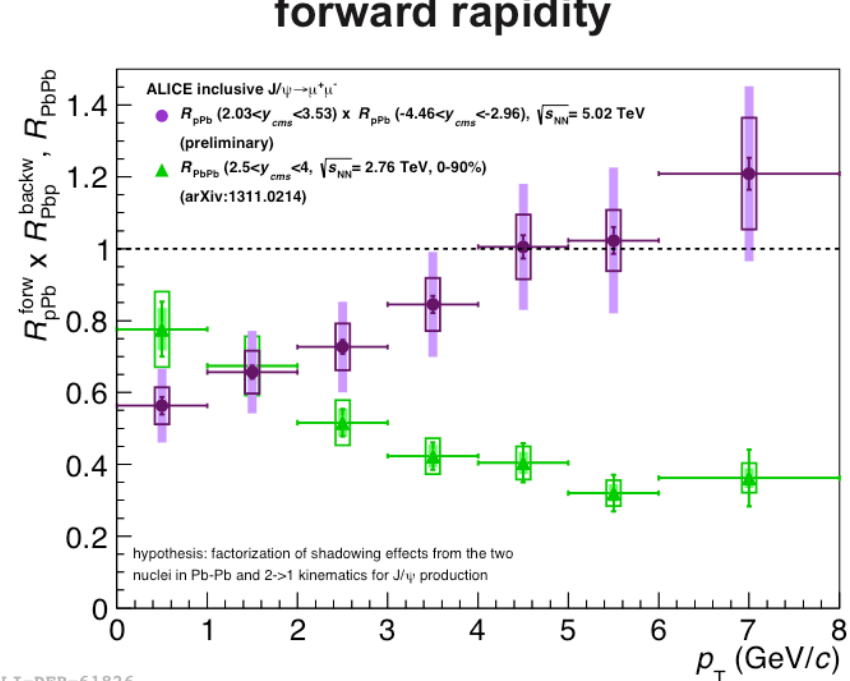
$J/\psi R_{AA}$: comparison to R_{pPb}

- Low p_T で enhancement
 - Recombination と consistent
- High p_T では suppression

mid-rapidity

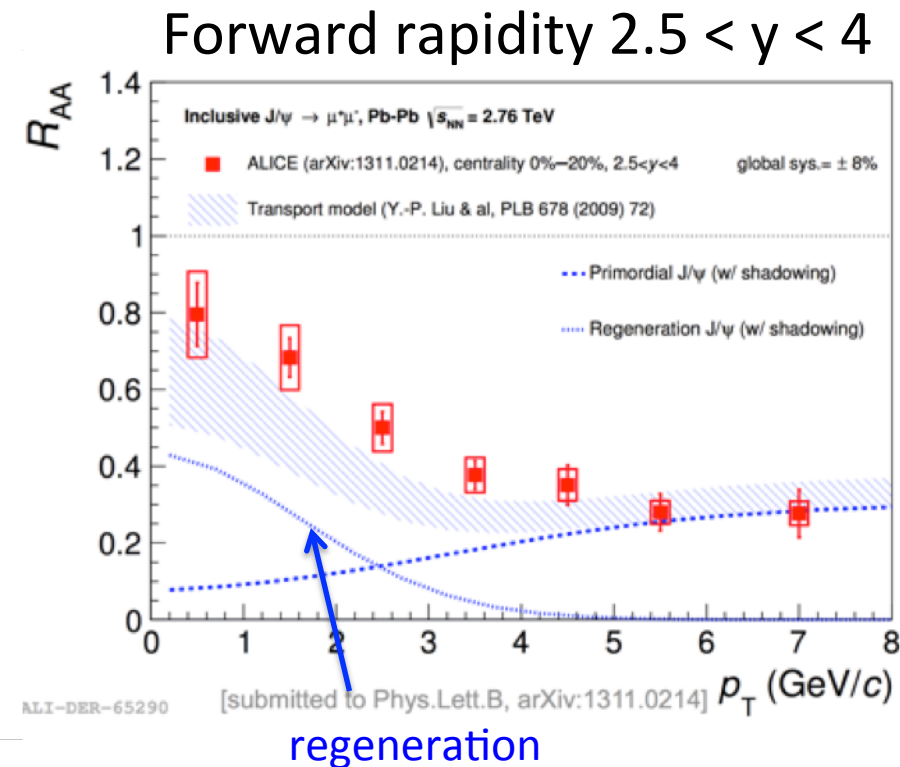
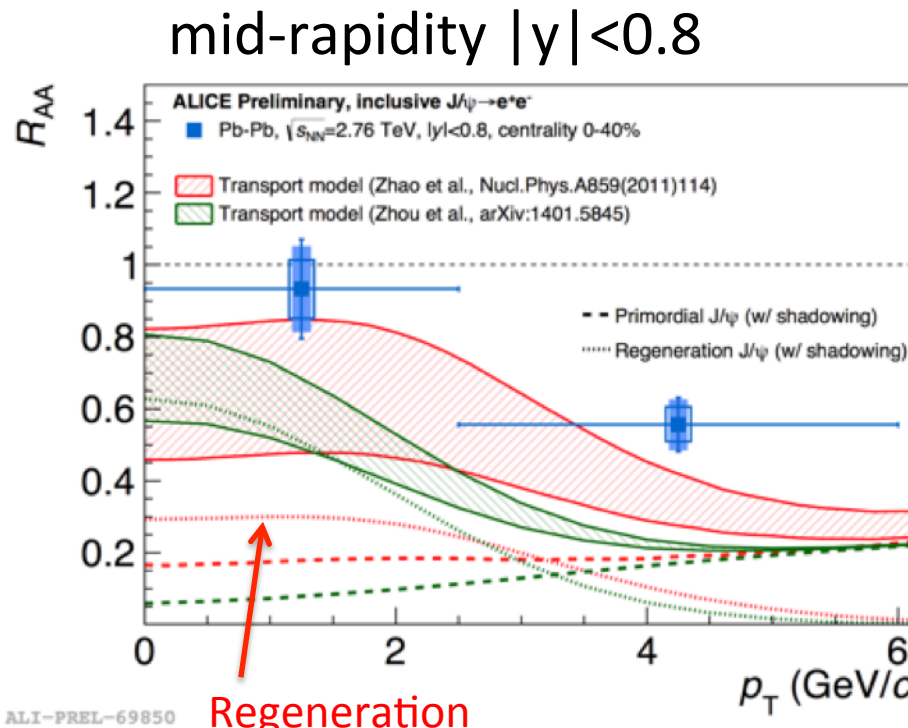


forward rapidity

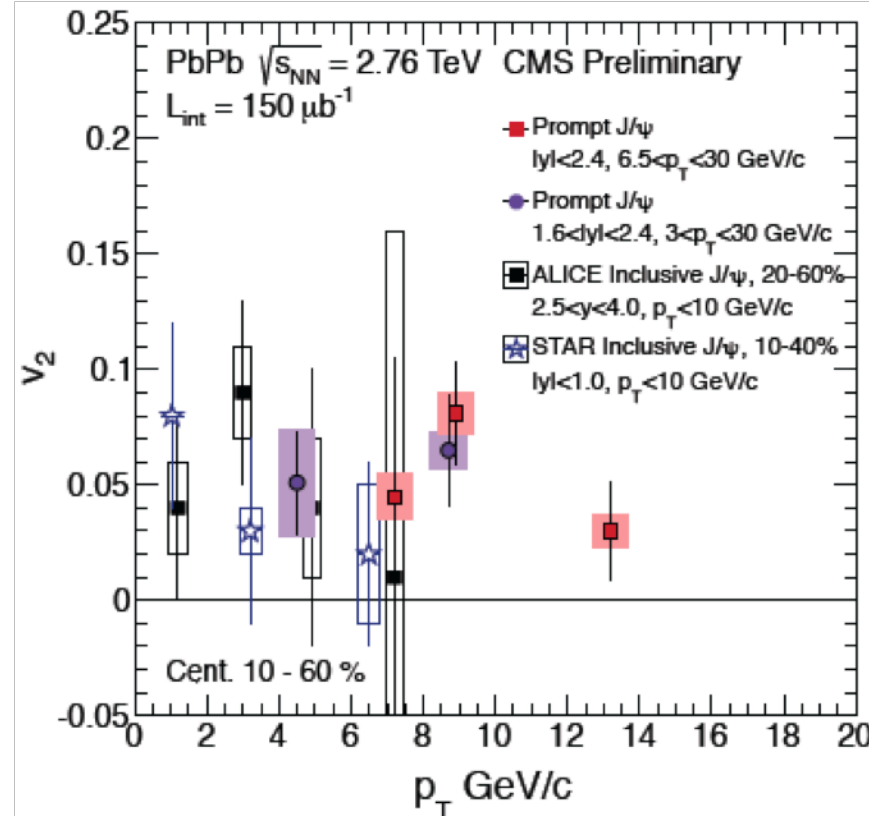
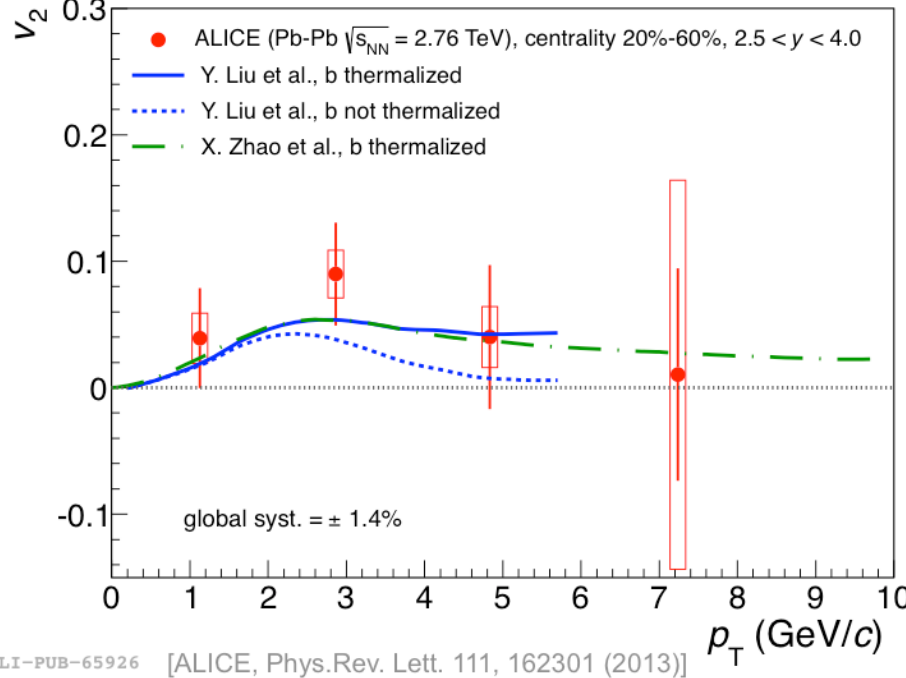


$J/\psi R_{AA}$: comparison to models

- Regeneration模型が実験結果を再現



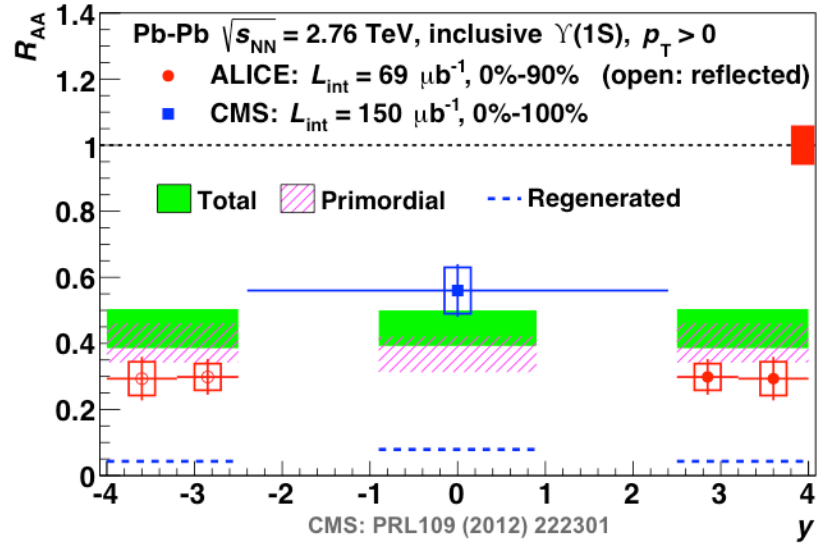
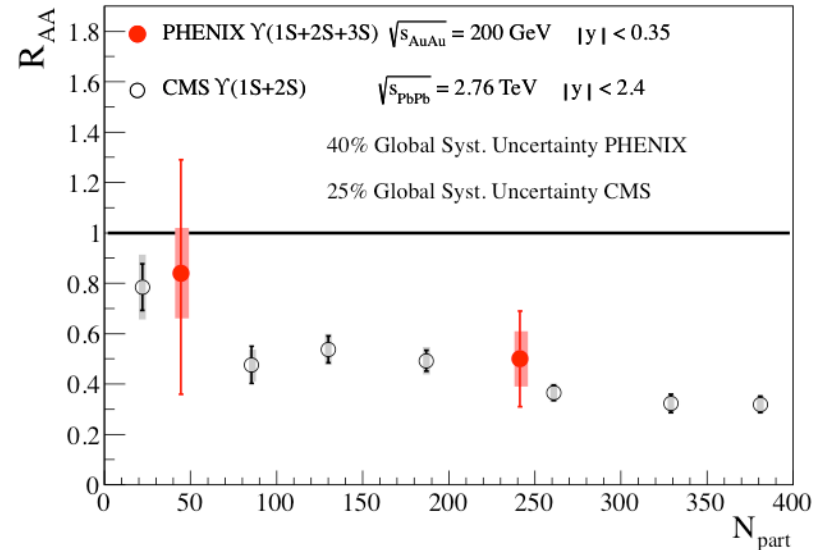
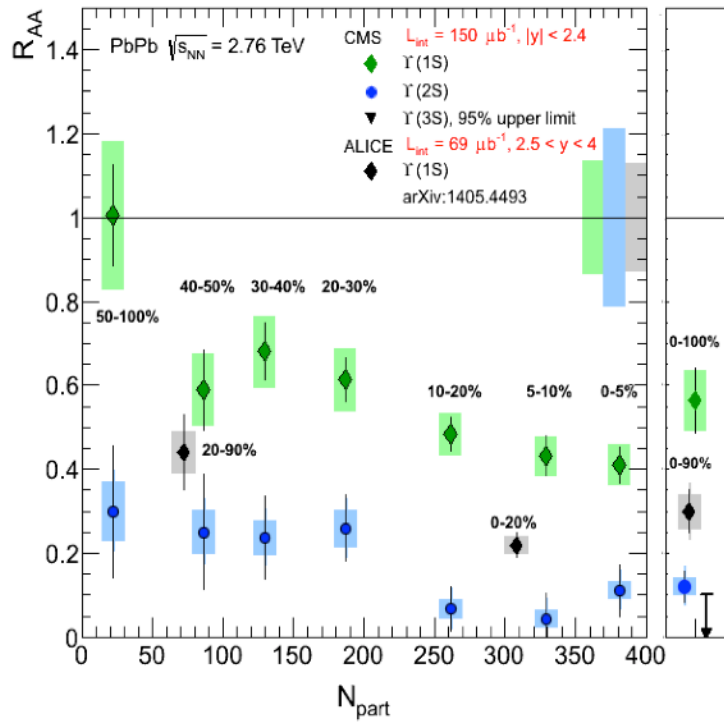
J/ ψ v2



- ALICE
 - Non-zero v_2 確認
 - Recombination と consistent
- CMS
 - High p_T J/ ψ でも non-zero v_2 ($\sim v_{2\text{had}} \sim v_{2\text{D}}$): Path length 依存性?

Bottomonium R_{AA}

- RHIC, LHCとともにmid rapidityで同程度のsuppressionを確認
- LHCでラピディティ依存性を確認



Summary

p-Aと重イオン衝突の結果の比較が可能

→今まで見えていた現象の解釈

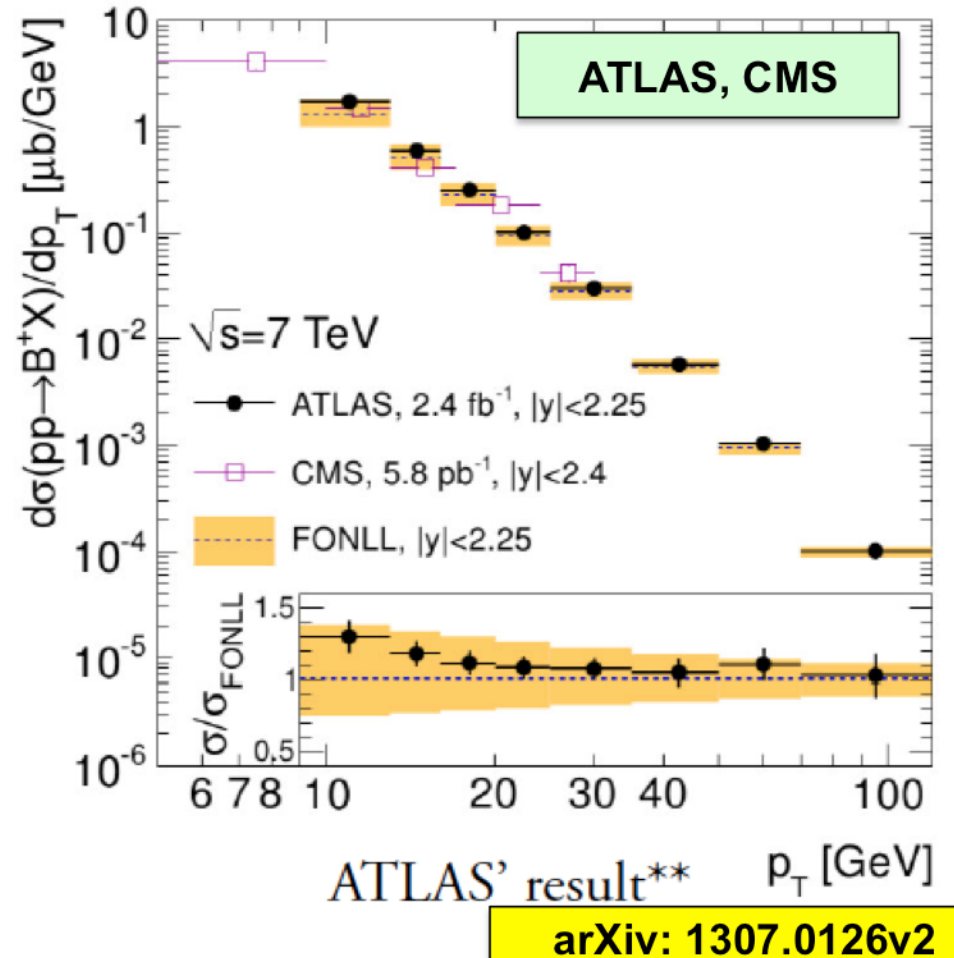
Low energy, p/d-A自身についても興味深い結果

- Open heavy flavor
 - p-p Multiplicity dependence: Multiple parton interaction?
 - R_{pPb} : 原子核効果見られず → R_{AA} suppression は energy loss
 - Double-ridge in p-Pb: CGC? Hydro?
 - energy dependence: enhancement, nonzero v_2 at $\sqrt{s}=64$ GeV
 - $R_{AA}(B) > R_{AA}(D)$
- Quarkonium
 - $\psi(2S)$ suppression at backward → co-mover breakup?
 - J/ψ R_{pPb} vs R_{AA} : enhancement at low p_T → regeneration
 - High p_T $J/\psi v_2$
 - $Y(nS)/Y(1S)$ in p-Pb: Pb-Pbほどのsuppression見られず → Sequential melting
 - $Y R_{AA}$: rapidity 依存性?

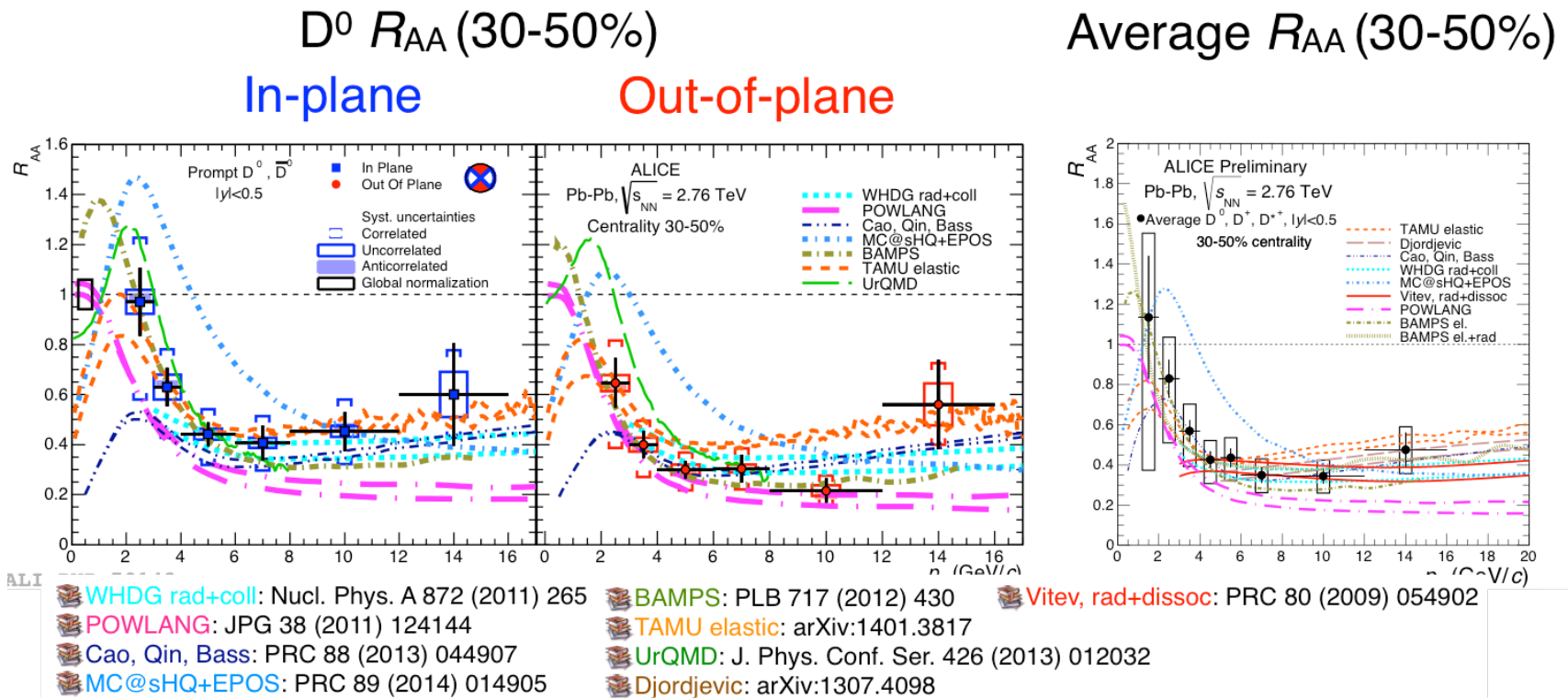
Back up

B meson in p-p

- FONLL 計算

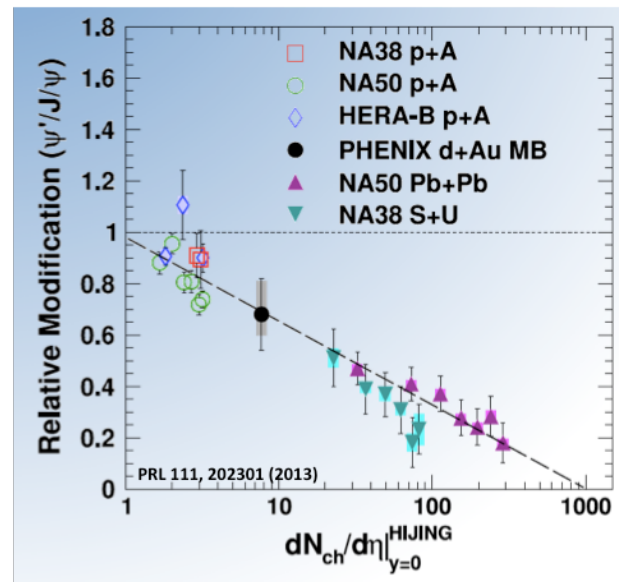
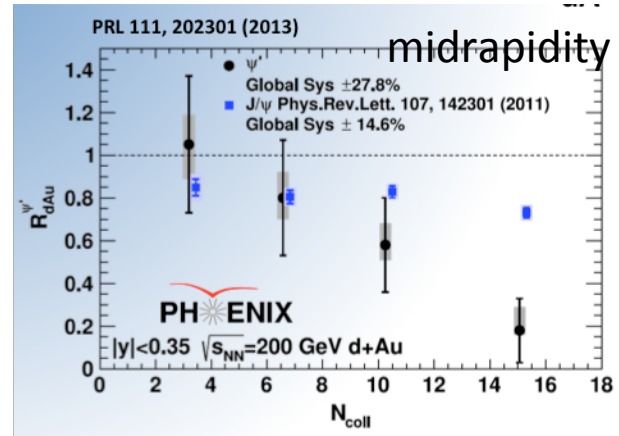
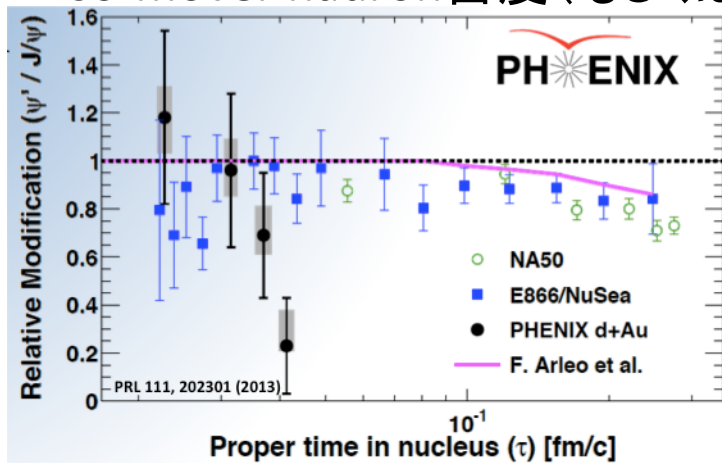


Model constraint



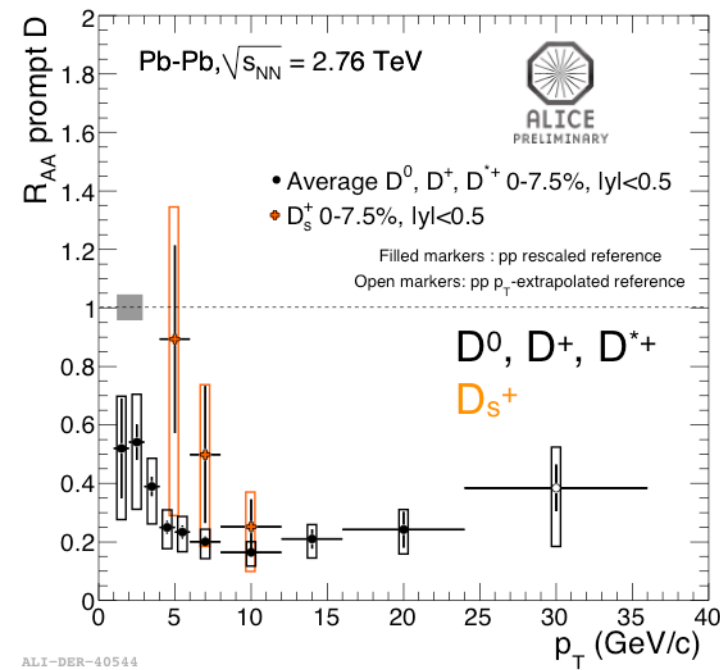
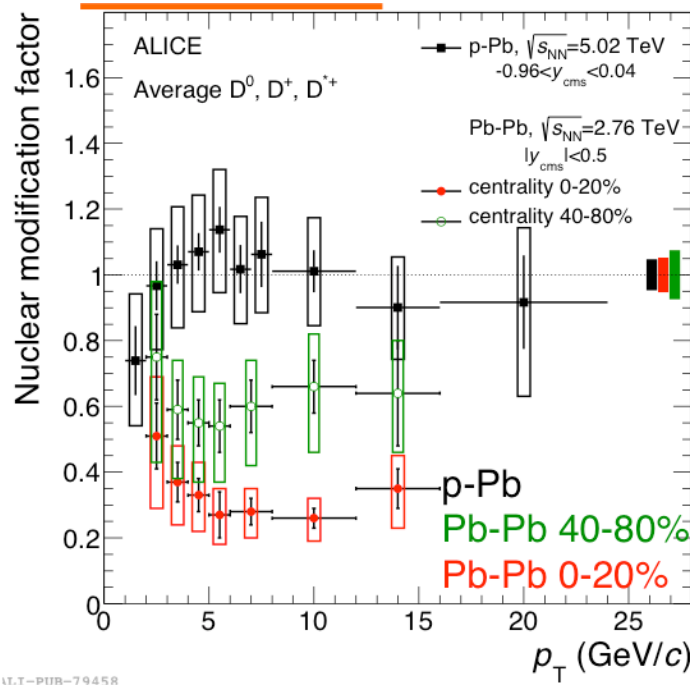
$\psi'@RHIC$

- J/ψに比べcentrality が大きいところでで強いsuppression
- Crossing timeは十分短い
 - $\tau_{\text{form}} \sim 0.05\text{-}0.15\text{fm/s}$
 - Inside breakup は考えにくい
 - Co-mover によるbreakup?
- Multiplicity 依存性
 - Co-mover hadron密度(もしくは



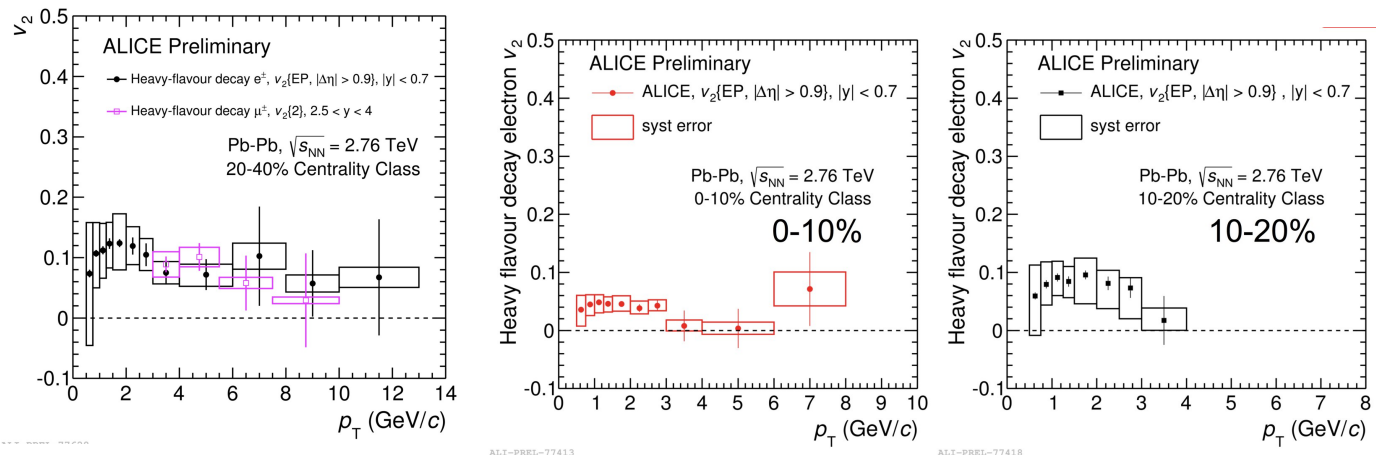
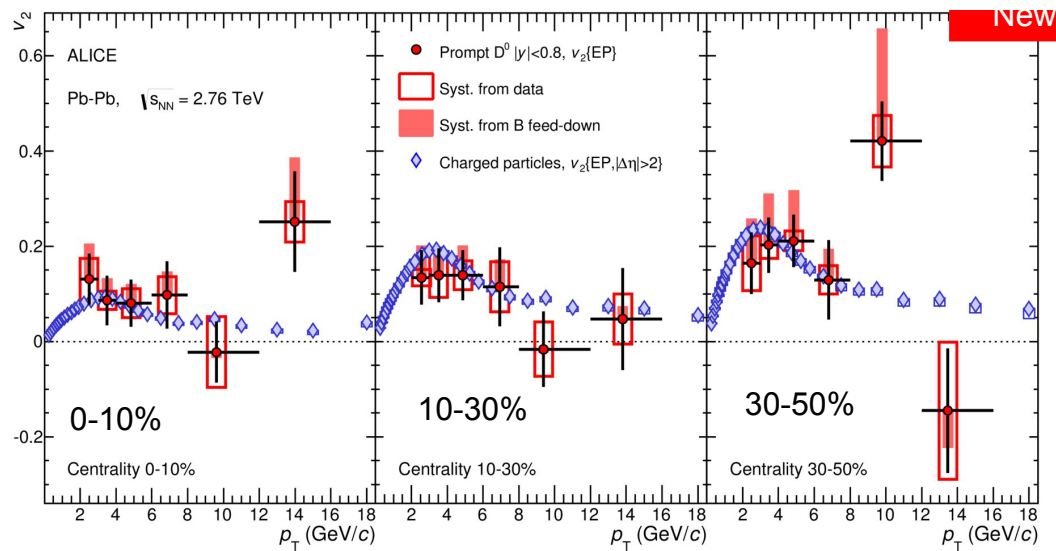
D meson R_{AA} @LHC

- R_{pPb} に比べ明らかなsuppression
 - medium中のenergy lossによるもの
- D_s 測定



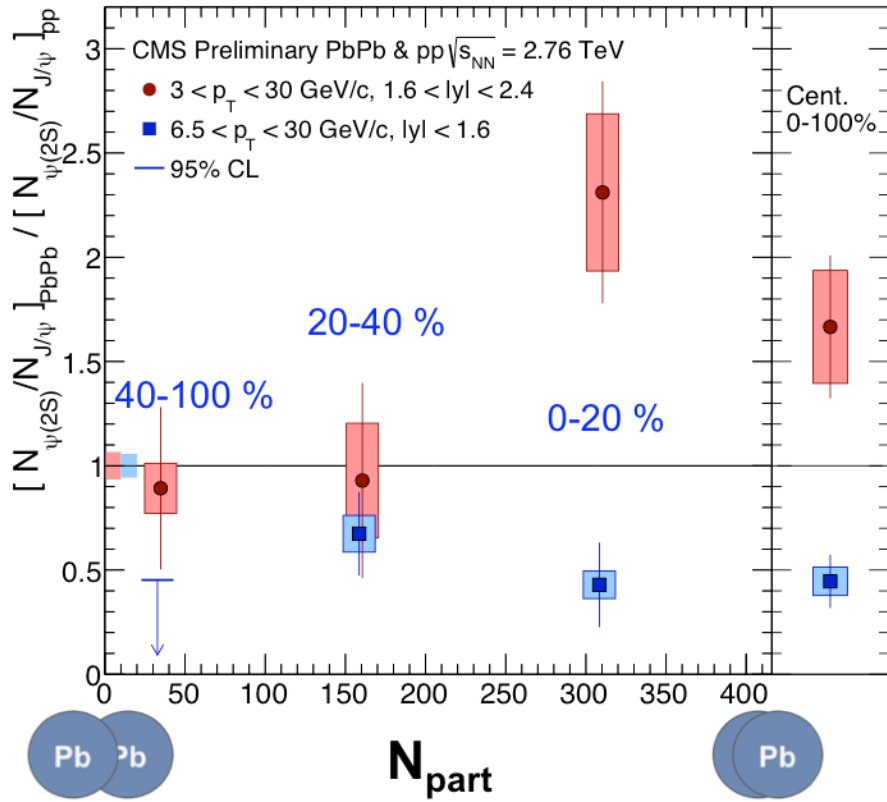
D meson flow

- Non-zero v₂を確認
 - $p_T > 2 \text{ GeV}/c$ で charged hadron と同程度
 - Single electron/muonでも v₂ を確認
- Charm quarkの熱平衡化?



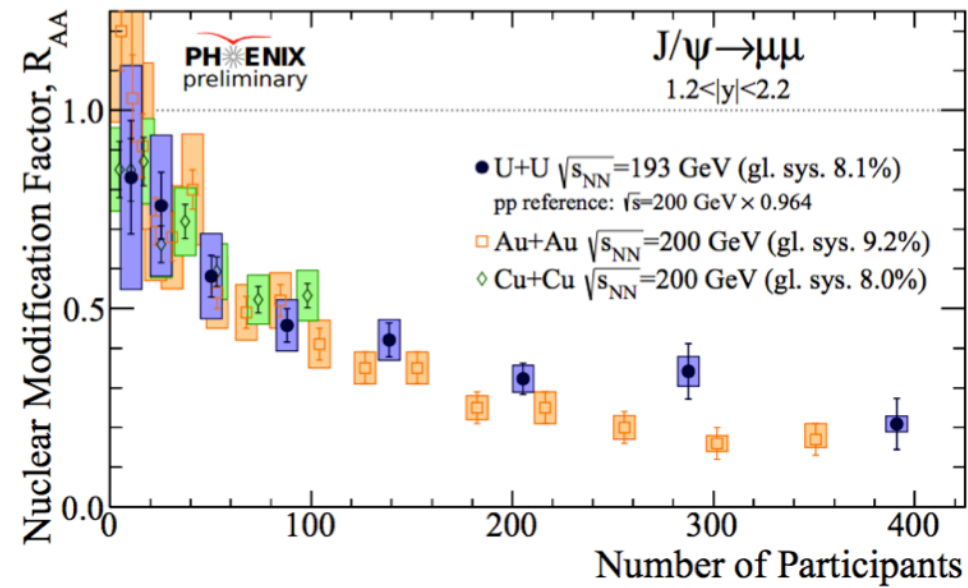
$\psi(2S) : PbPb$

- High p_T suppression
 - Melting
- Inclusive $\psi(2S)$
 - Recombination & consistent



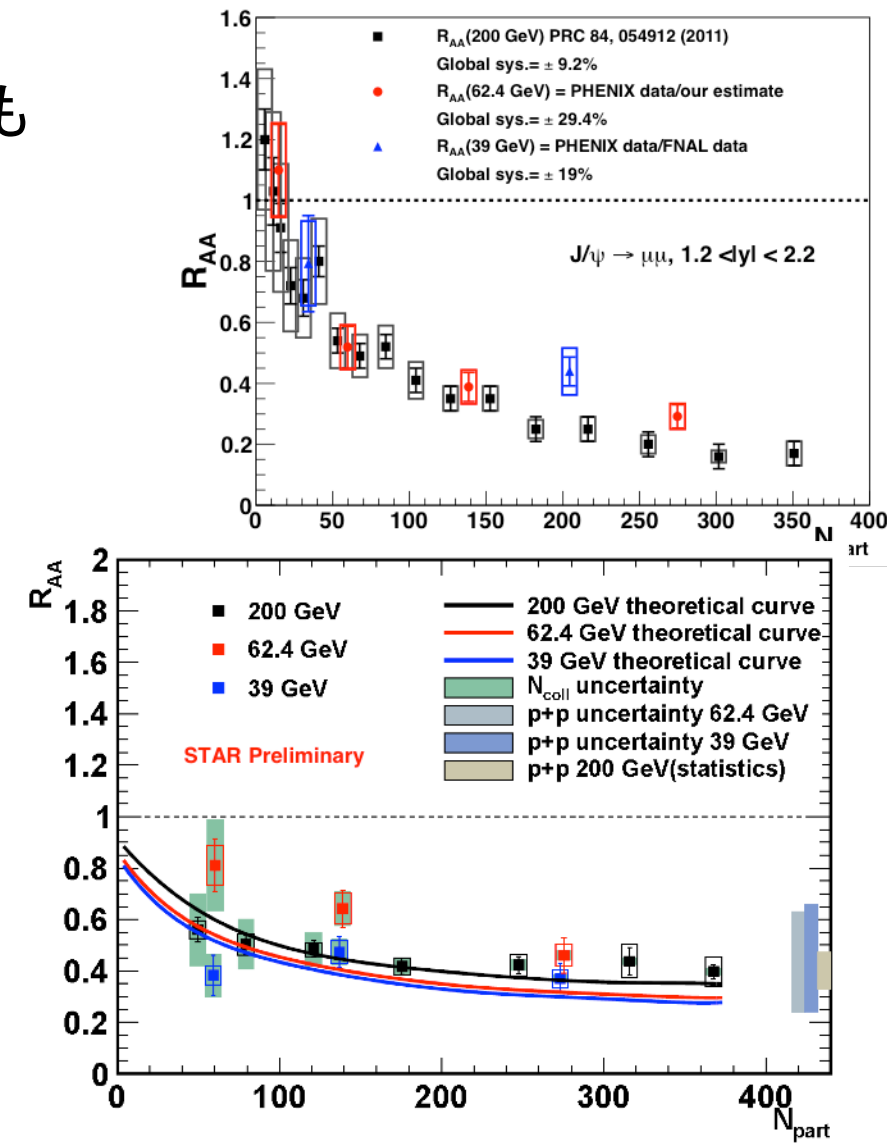
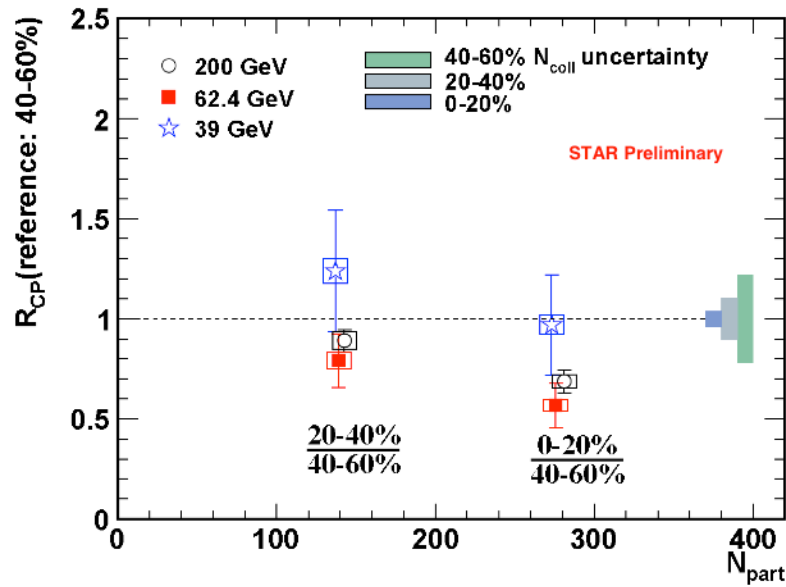
J/ψ System size依存性

- 緩やかなsuppression傾向
- 核種依存性は見られず



J/ψ at low energy

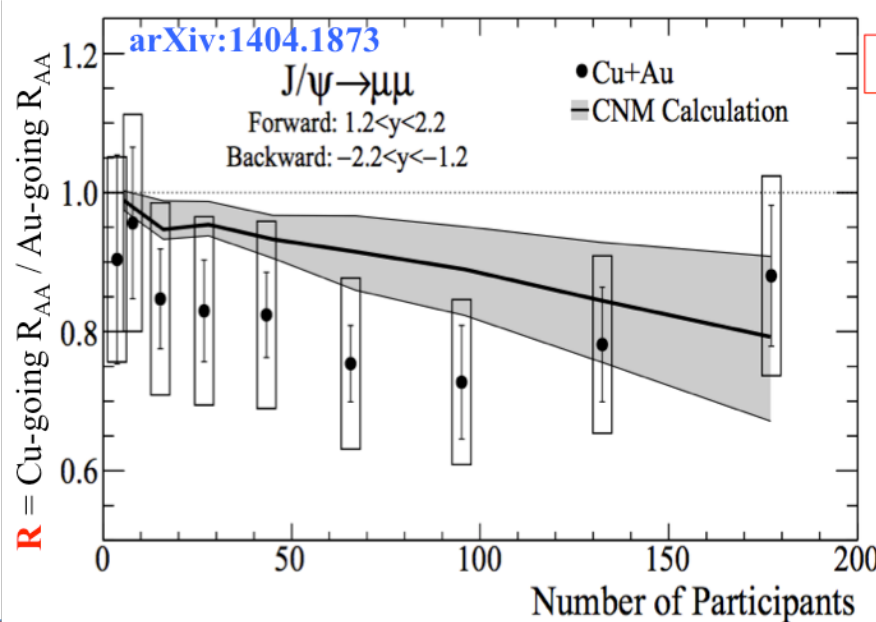
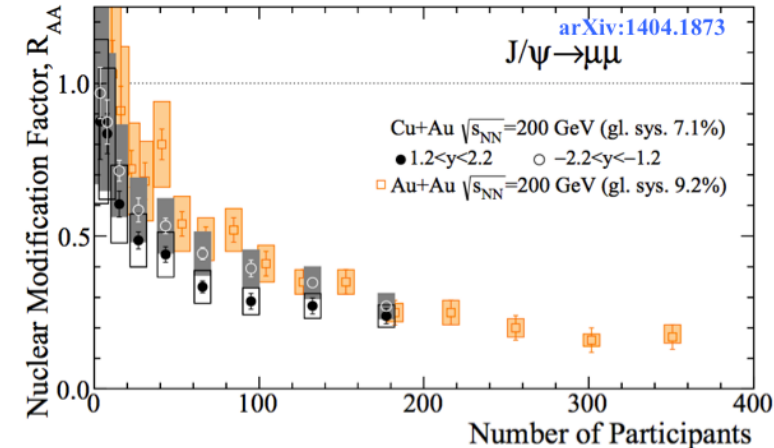
- STAR PHENIXとともにLow energy でも suppression を確認
- 200 GeVが最も顕著なsuppression
 - Recombination modelと逆の傾向



J/ψ in Cu+Au

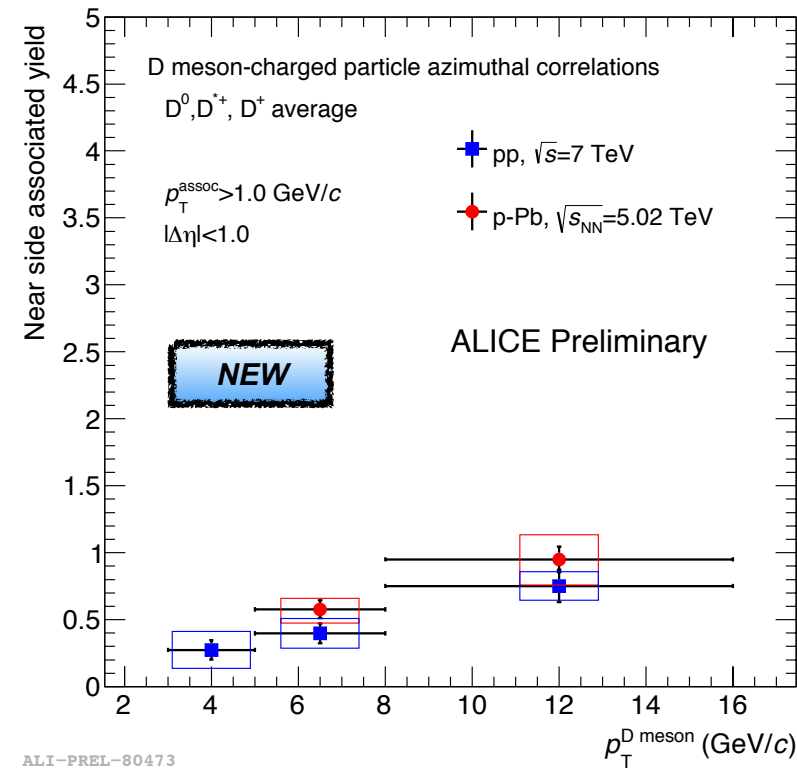
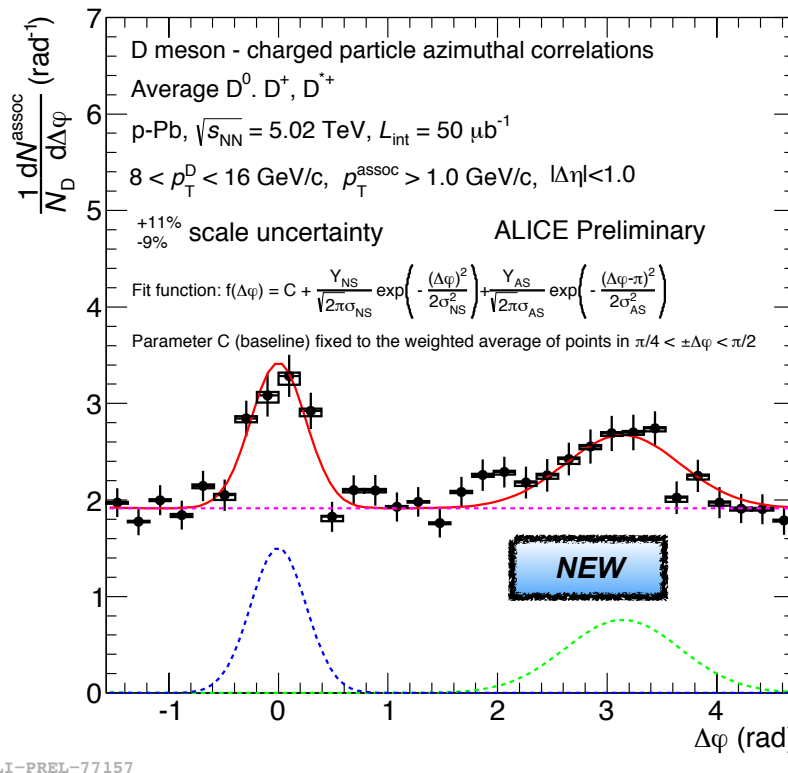
- Cu-goingとAu-goingで異なる x をプローブ
 - Cu-going側はAu内の x (より小さい x)をプローブするためAu-goingに比べ原子核効果を受けやすい $\rightarrow R$ は小さくなる
- Final state effect
 - Au-goingがよりsuppressされるはず $\rightarrow R$ は大きくなる
- $N_{\text{part}} > 100$ で R は増加

CNM: EPS09+ 4mb breakup



D-hadron correlation

- pp, p-PbでD-hadron相関を測定
 - Near side, away sideピークを確認
- Detector upgrade(2018～？)後に本格測定
 - Energy loss, thermalization
 - Cold nuclear matter effects の検証



pp reference of Y

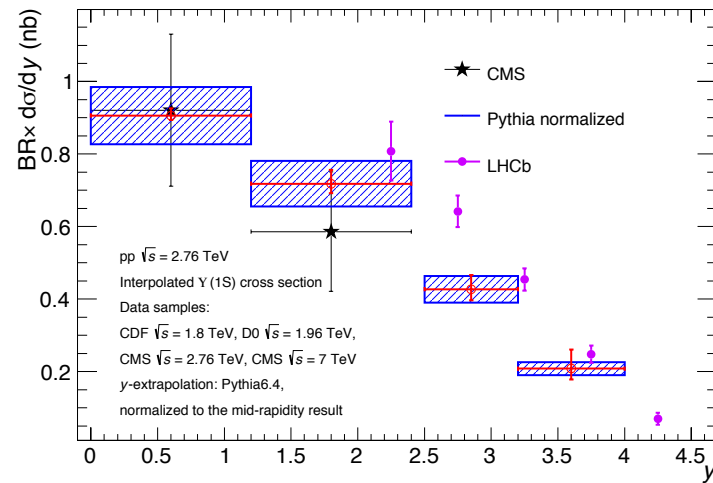
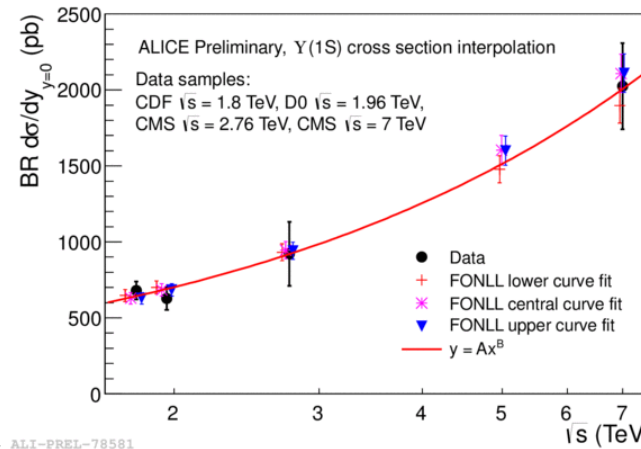
- ALICE pp reference

Approach used for preliminary results

- Energy interpolation at mid-rapidity
 - using CDF@1.8 TeV, D0@1.96 TeV, CMS@2.76 TeV, CMS@7 TeV data
 - and several “reasonable” functional forms
 - but also pQCD FONLL calculation
- Rapidity extrapolation
 - Test and select many Pythia tunes using CMS and LHCb data at 7 TeV
 - With selected tunes extrapolate the mid-rapidity point above to forward rapidity

Approach used for the publication

- Use data from LHCb [EPJC74 2835 (2014)]
- pp cross section at 2.76 TeV ($2.5 < y < 4$)
 - LHCb measurement:
 $\sigma[Y(1S) \rightarrow \mu\mu] = 0.670 \pm 0.025 \text{ (stat.)} \pm 0.026 \text{ (syst.) nb}$
 - ALICE extrapolation:
 $\sigma[Y(1S) \rightarrow \mu\mu] = 0.465^{+0.071}_{-0.045} \text{ (extrap.)} \pm 0.041 \text{ (norm.) nb}$



Outlook

- LHC
 - Run2 : 来年5月から稼働
 - 約10倍の統計
 - Run3:
 - ALICE, Detector upgrade : ITS, TPC, MFT....
 - B, D-D correlation, Λ_c
- PHENIX
 - Vertex の結果
 - sPHENIX
- STAR
 - HFT: B/D separation,
 - Muon telescope detector: e- μ correlation for heavy flavor correlation